

# Capítulo 1

## Método de Euler Explícito/progresivo

Notación:  $[s]$  = parte entera de  $s$  =  $\max\{k \in \mathbb{Z} / k \leq s\}$ .

Dado  $h > 0$ , consideramos en  $[a, b]$  el conjunto de puntos uniformemente espaciados

$$x_n = a + nh, \quad n = 0, 1, \dots, N, \quad N = \left\lfloor \frac{b-a}{h} \right\rfloor$$

$$x_0 = a, \quad x_n \in [a, b], \quad n = 0, \dots, N \quad 0 \leq b - x_N < h \quad \left( x_N = b \Leftrightarrow \frac{b-a}{h} \in \mathbb{Z} \right)$$

Vamos a aproximar los valores de la solución exacta  $y = y(x)$  del (PVI) en los puntos  $x_n$  por vectores  $y_n \in \mathbb{R}^m$  generados por el método numérico,  $n = 0, \dots, N$

### Notación

- $y(x_n) \in \mathbb{R}^m$  – valor de la solución exacta en  $x_n$
- $y_n \in \mathbb{R}^m$  – aproximación construida por el método numérico
- $h > 0$  – longitud de paso

Queremos que  $y_n \approx y(x_n)$ , o lo que es lo mismo,  $\lim_{h \rightarrow 0^+} \left( \max_{0 \leq n \leq N} \|y(x_n) - y_n\| \right) = 0$

### 1.1. Motivación

#### 1.1.1. Obtención del método mediante derivación numérica

La solución exacta  $y = y(x)$  del (PVI) cumple:

$$y'(x_n) = f(x_n, y(x_n)) \Rightarrow y'(x_n) \stackrel{h \text{ pequeño}}{\approx} \frac{y(x_n + h) - y(x_n)}{h} = \frac{y(x_{n+1}) - y(x_n)}{h}$$

Así pues:  $\frac{y(x_{n+1}) - y(x_n)}{h} \approx f(x_n, y(x_n))$

### 1.1.2. Obtención del método mediante integración numérica

La solución exacta  $y = y(x)$  del (PVI) cumple

$$y(x_{n+1}) - y(x_n) = \int_{x_n}^{x_{n+1}} y'(s) ds = \int_{x_n}^{x_{n+1}} f(s, y(s)) ds$$

Aproximamos  $f(s, y(s)) \approx f(x_n, y(x_n)) \quad \forall s \in [x_n, x_{n+1}]$

Esto equivale a usar la fórmula del rectángulo izquierdo:  $\int_{\alpha}^{\beta} g'(s) ds \approx g(\alpha)(\beta - \alpha)$

$$y(x_{n+1}) - y(x_n) \approx hf(x_n, y(x_n)) \Rightarrow y_{n+1} - y_n \approx hf(x_n, y_n)$$

## 1.2. Esquema del método

$$\begin{cases} \frac{y_{n+1} - y_n}{h} = f(x_n, y_n), & n = 0, \dots, N-1 \\ y_0 = \eta + \bar{\eta}, & \bar{\eta} \text{ perturbación de la ci} \end{cases}$$

$$\begin{cases} y_{n+1} = y_n + hf(x_n, y_n) \\ y_0 = \eta + \bar{\eta} \end{cases}$$

Por lo general, la perturbación de la condición  $\bar{\eta}$  será 0. No obstante, en las prácticas de la asignatura veremos como en algunos problemas nos es conveniente aplicar 2 veces el método de forma consecutiva para poder emplear 2 longitudes de paso distintas. En ese caso la condición inicial de la segunda iteración está perturbada pues es la aproximación obtenida por la primera.

Problema continuo	Problema discreto
<ul style="list-style-type: none"> <li>■ PVI</li> <li>■ <math>x \in [a, b]</math></li> <li>■ Solución exacta <math>y = y(x)</math>  <math>y : [a, b] \longrightarrow \mathbb{R}^m</math></li> </ul>	<ul style="list-style-type: none"> <li>■ Conjunto finito</li> <li>■ <math>\{x_n\} \subset [a, b] (x_n = a + nh)</math></li> <li>■ Solución numérica <math>\{y_n\} \subset \mathbb{R}^m</math></li> <li>■ El problema <math>(P_h)</math> depende de <math>h</math>.</li> </ul>

El método de Euler Explícito es un método explícito, es decir, calculado el  $y_n$ , se puede calcular el  $y_{n+1}$  sin necesidad de resolver ninguna ecuación o sistema de ecuaciones, como sí sucede en los métodos implícitos.

$$y_0 \Rightarrow y_1 \Rightarrow y_2 \Rightarrow \dots \Rightarrow y_N$$

### 1.3. Interpretación geométrica

Para el caso escalar, el punto  $(x_{n+1}, y_{n+1})$  se alcanza avanzando a partir del punto  $(x_n, y_n)$  a lo largo de la recta que tiene pendiente  $f(x_n, y_n)$  y que pasa por  $(x_n, y_n)$  de modo que la variable  $x$  aumente en  $h$  ( $h > 0$ )

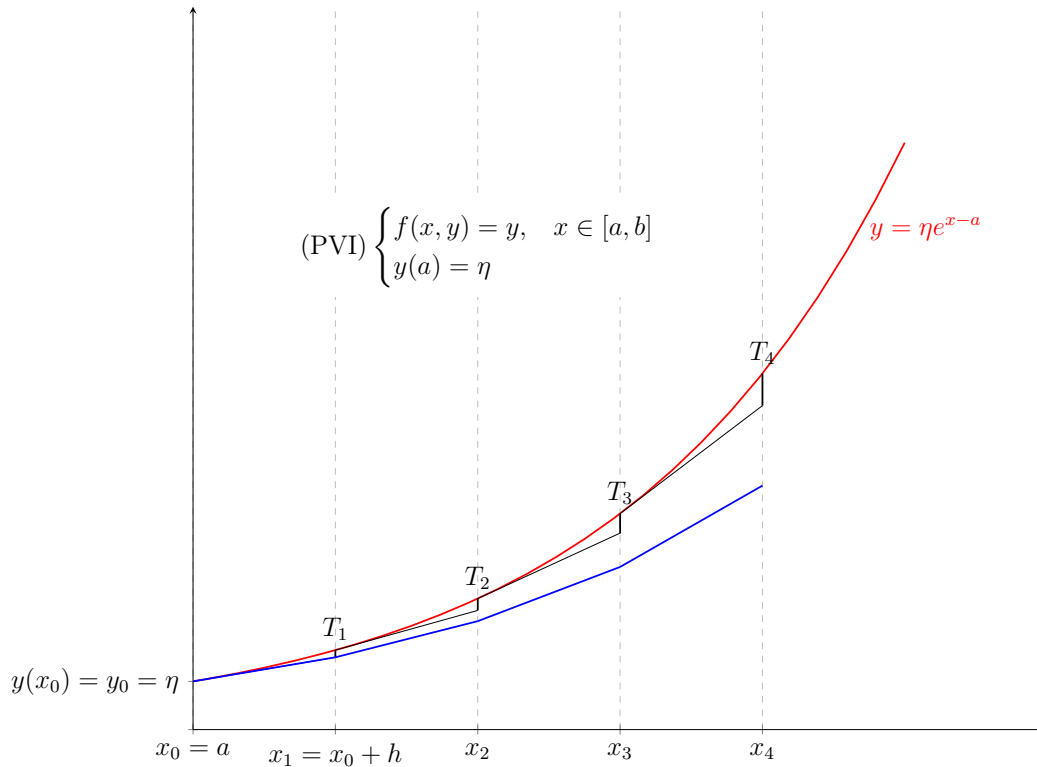


Figura 1.1: Interpretación geométrica de Euler Explícito

**¡ATENCIÓN!** Aunque en este ejemplo parezca que el error global es la suma de los errores locales de discretización, en general

$$|y(x_n) - y_n| \neq \sum_{i=1}^n T_i$$

Eso sucede únicamente cuando  $f$  dependa únicamente de  $x$  y no de  $y$ .

Para estudiar los métodos numéricos, estudiaremos 4 aspectos de los mismos:

- Consistencia: ¿Los errores locales de discretización tienden a cero?
- Estabilidad: ¿Soluciones que parten próximas permanecen próximas?
- Convergencia: ¿Las aproximaciones tienden a la solución exacta?
- Estabilidad numérica: ¿Soluciones exactas acotadas tienen soluc. numéricas acotadas?

## Repaso de la fórmula de Taylor

### 1. Con resto integral

Sea  $\varphi : [a, b] \longrightarrow \mathbb{R}^m$  una función de clase  $\mathcal{C}^{p+1}([a, b], \mathbb{R}^m)$ ,  $p \in \mathbb{Z}$ ,  $p \geq 0$ .

Entonces,  $\forall \alpha, x \in [a, b]$ , se tiene que:

$$\varphi(x) = \varphi(\alpha) + (x - \alpha)\varphi'(\alpha) + \frac{1}{2!}(x - \alpha)^2\varphi''(\alpha) + \dots + \frac{1}{p!}(x - \alpha)^p\varphi^{(p)}(\alpha) + \mathcal{R}_p(x, \alpha),$$

$$\mathcal{R}_p(x, \alpha) = \frac{1}{p!} \int_{\alpha}^x (x - s)^p \varphi^{(p+1)}(s) ds$$

### 2. Resto en forma de Lagrange

En el caso escalar ( $m=1$ ), es válida la forma de Lagrange del resto:

$$\mathcal{R}_p(x, \alpha) = \frac{1}{(p+1)!} (x - \alpha)^{p+1} \varphi^{(p+1)}(\xi), \quad \xi \in (\alpha, x)$$

## O de Landau

**Definición 1.3.0.1.** Sea  $\varphi : (0, h_0) \longrightarrow \mathbb{K}$  ( $\mathbb{K} = \mathbb{R}$  ó  $\mathbb{C}$ ) y sea  $p \in \mathbb{R}$

- $\varphi(h) = O(h^p)$  [ $\varphi$  es  $O$  grande de  $h^p$ ]

$$:\Leftrightarrow \exists \bar{h} \in (0, h_0), \exists c \geq 0 \text{ cte} / \|\varphi(h)\| \leq ch^p \quad \forall h \in (0, \bar{h})$$

- $\varphi(h) = o(h^p)$  [ $\varphi$  es  $o$  pequeña de  $h^p$ ]

$$:\Leftrightarrow \lim_{h \rightarrow 0^+} \frac{\varphi(h)}{h^p} = 0 \quad \left( \Leftrightarrow \lim_{h \rightarrow 0^+} \frac{\|\varphi(h)\|}{h^p} = 0 \right)$$

**Ejercicio 1.3.0.2.** Probar las siguientes propiedades:

1.  $\varphi(h) = o(h^p) \Rightarrow \varphi(h) = O(h^p)$

$$\varphi(h) = o(h^p) :\Leftrightarrow \lim_{h \rightarrow 0^+} \frac{\|\varphi(h)\|}{h^p} = 0$$

$$\Leftrightarrow \forall \varepsilon > 0, \exists \delta > 0 / 0 \leq h < \delta \Rightarrow \frac{\|\varphi(h)\|}{h^p} < \varepsilon$$

$$\Leftrightarrow \forall \varepsilon > 0, \exists \delta > 0 / 0 \leq h < \delta \Rightarrow \|\varphi(h)\| \leq \varepsilon h^p$$

Tomando  $c = \varepsilon$  fijado,  $\bar{h} = \delta$ , se tiene que  $\varphi(h) = O(h^p)$

2.  $q < p$ ,  $\varphi(h) = O(h^p) \Rightarrow \varphi(h) = o(h^q)$

$$\varphi(h) = O(h^p) :\Leftrightarrow \exists \bar{h} \in (0, h_0], \exists c \geq 0 \text{ cte} / \|\varphi(h)\| \leq ch^p \quad \forall h \in (0, \bar{h})$$

$$\Rightarrow \frac{\|\varphi(h)\|}{h^p} \leq c \quad \forall h \in (0, h_0)$$

En particular, consideremos  $h \in (0, 1)$ :  $0 \leq \frac{\|\varphi(h)\|}{h^p} \cdot h^{p-q} \leq ch^{p-q}$ . Tomando límites:

$$0 \leq \lim_{h \rightarrow 0^+} \frac{\|\varphi(h)\|}{h^p} \cdot h^{p-q} \leq 0 \Rightarrow \varphi(h) = o(h^q) \quad \forall q \in \{1, \dots, p-1\}$$

## 1.4. Consistencia y orden de consistencia

El método de Euler Explícito se puede expresar de la siguiente forma:

$$\frac{y_{n+1} - y_n}{h} - f(x_n, y_n) = 0 \quad (\text{Estamos aproximando la derivada})$$

Esto nos invita a realizar la siguiente definición:

**Definición 1.4.0.1.** Para  $n=1, \dots, N$  se definen los vectores  $\tau_n$  de la siguiente forma:

$$\tau_{n+1} = \frac{y(x_{n+1}) - y(x_n)}{h} - f(x_n, y(x_n)), \quad n = 0, \dots, N-1$$

donde  $y = y(x)$  denota una solución exacta de la EDO  $y' = f(x, y)$ .

**Observación 1.4.0.2.**  $\tau_n$  depende de  $h$  y de  $y$  (solución exacta del PVI).

**Definición 1.4.0.3 (Error local de discretización).** Definimos el error local de discretización (o error local de truncamiento) en  $x_{n+1}$  mediante:

$$T_{n+1} = y(x_{n+1}) - y_{n+1}, \quad n = 0, \dots, N-1$$

partiendo de la hipótesis de localización (es decir,  $y(x_n) = y_n$ ). En el caso del método de Euler Explícito, esto es:

$$T_{n+1} = h \cdot \tau_{n+1}$$

### Justificación de las definiciones anteriores

**Hipótesis de localización:** Para entender esto de forma visual, acudamos a la figura 1.1. Para el cálculo de  $T_{n+1}$ , partimos de la solución exacta  $y(x_n)$  y damos un paso con pendiente  $f(x_n, y(x_n))$ , que recordemos que en general es distinto de  $f(x_n, y_n)$ . Bajo la hipótesis de localización,  $T_{n+1}$  es el error cometido en  $x_{n+1}$ . En efecto:

$$\begin{aligned} y(x_{n+1}) &= y(x_n) + hf(x_n, y(x_n)) + h\tau_{n+1} \\ y_{n+1} &= y_n + hf(x_n, y_n) \end{aligned}$$

Restando:

$$y(x_{n+1}) - y_{n+1} = \underbrace{y(x_n) - y_n}_{\substack{\parallel \\ 0}} + h \underbrace{[f(x_n, y(x_n)) - f(x_n, y_n)]}_{\substack{\parallel \\ 0}} + T_{n+1}$$

$$y(x_{n+1}) - y_{n+1} = T_{n+1}$$

**Proposición 1.4.0.4 (Consistencia y orden).** Sea  $y = y(x)$  una solución exacta de la EDO  $y' = f(x, y)$ . Entonces:

1.  $\lim_{h \rightarrow 0^+} \left( \max_{1 \leq n \leq N} \|\tau_n\| \right) = 0$
2. Si además  $y \in \mathcal{C}^2([a, b])$ ,  $\max_{1 \leq n \leq N} \|\tau_n\| = O(h)$

*Demostración.*

1. Recordemos que:

$$\tau_{n+1} = \frac{y(x_{n+1}) - y(x_n)}{h} - f(x_n, y(x_n)), \quad n = 0, 1, \dots, N-1$$

Como  $y = y(x)$  es solución exacta de la EDO  $y' = f(x, y)$ ,  $y'(x_n) = f(x_n, y(x_n))$

Por tanto,

$$\tau_{n+1} = \frac{y(x_{n+1}) - y(x_n)}{h} - y'(x_n), \quad n = 0, 1, \dots, N-1 \quad (\text{EE1})$$

Como  $y$  es solución de  $y' = f(x, y)$ ,  $y \in \mathcal{C}^1([a, b])$

$$\begin{aligned} \tau_{n+1} &= \frac{1}{h} \int_{x_n}^{x_{n+1}} y'(s) ds - y'(x_n) = \frac{1}{h} \int_{x_n}^{x_{n+1}} (y'(s) - y'(x_n)) ds \\ \Rightarrow \|\tau_{n+1}\| &\leq \frac{1}{h} \int_{x_n}^{x_{n+1}} \|y'(s) - y'(x_n)\| ds \leq \max_{s \in [x_n, x_{n+1}]} \|y'(s) - y'(x_n)\|, \quad n = 0, 1, \dots, N-1 \\ \Rightarrow \max_{1 \leq n \leq N} \|\tau_n\| &= \max_{0 \leq n \leq N-1} \|\tau_{n+1}\| \leq \max_{\substack{s, t \in [a, b] \\ |s-t| \leq h}} \|y'(s) - y'(t)\| \xrightarrow[h \rightarrow 0^+]{\substack{y' \text{ unif.} \\ \text{cont.en}[a, b]}} 0 \end{aligned}$$

2. Supongamos que  $y \in \mathcal{C}^2([a, b])$ . Aplicamos la fórmula de Taylor con resto integral:

$$y(x_{n+1}) = y(x_n + h) = y(x_n) + hy'(x_n) + \int_{x_n}^{x_{n+1}} (x_{n+1} - s)y''(s)ds$$

Sustituimos esto en (EE1), obteniendo:

$$\begin{aligned} \tau_{n+1} &= \frac{1}{h} \int_{x_n}^{x_{n+1}} (x_{n+1} - s)y''(s)ds \Rightarrow \|\tau_{n+1}\| \leq \frac{1}{h} \int_{x_n}^{x_{n+1}} (x_{n+1} - s)\|y''(s)\|ds \\ &\leq \frac{M_2}{h} \int_{x_n}^{x_{n+1}} (x_{n+1} - s)ds \end{aligned}$$

Como  $\int_{x_n}^{x_{n+1}} (x_{n+1} - s)ds = \frac{1}{2}h^2$ , obtenemos:

$$\|\tau_{n+1}\| \leq \frac{M_2}{2}h$$

□

**Observación 1.4.0.5.**  $y \in \mathcal{C}^2([a, b]) \Rightarrow \max_{1 \leq n \leq N} \|T_n\| = O(h^2)$

**Observación 1.4.0.6.** Si  $y \in \mathcal{C}^p([a, b])$ ,  $p > 3$ , fijémonos en que  $\|\tau_{n+1}\| = O(h)$  ya que tendremos siempre un término  $O(h)$ .

$$y(x_{n+1}) = y(x_n) + hy'(x_n) + \frac{h^2}{2}y''(x_n) + \underbrace{R_2}_{O(h^3)} \Rightarrow \tau_{n+1} = \frac{h}{2}y''(x_n) + O(h^2)$$

**Definición 1.4.0.7.** Por cumplirse que  $\lim_{h \rightarrow 0^+} \max_{1 \leq n \leq N} \|\tau_n\| = 0$  para toda solución  $y(\cdot)$  de la EDO  $y' = f(x, y)$ , decimos que el método de Euler Explícito es **consistente con esa EDO**. Dado que esto se cumple para cualquier función  $f$  en las hipótesis (Hf), decimos que el método de Euler Explícito es **consistente**

**Definición 1.4.0.8.** Por cumplirse que  $\max_{1 \leq n \leq N} \|\tau_n\| = O(h)$  para toda solución  $y \in \mathcal{C}^2([a, b])$  de la EDO  $y' = f(x, y)$ , siendo  $f$  cualquier función que satisfaga (Hf), y cumplirse además que en algunas situaciones con  $y(\cdot)$  regular se tiene  $\max_{1 \leq n \leq N} \|\tau_n\| \neq O(h^p)$ , con  $p > 1$ , decimos que el método de Euler Explícito es **consistente de orden 1** o que tiene **orden 1 de consistencia**

## 1.5. Estabilidad

La estabilidad es la propiedad que garantiza que las soluciones de dos esquemas perturbados están próximas si los están las perturbaciones.

$$\begin{aligned} \text{Consistencia} &\Leftrightarrow \max_{1 \leq n \leq N} \|\tau_n\| \xrightarrow{h \rightarrow 0^+} 0 \\ \Rightarrow 0 &\leq \sum_{n=1}^N \|T_n\| = h \sum_{n=1}^N \|\tau_n\| \leq hN \max_{1 \leq n \leq N} \|\tau_n\| \leq (b-a) \max_{1 \leq n \leq N} \|\tau_n\| \xrightarrow{h \rightarrow 0^+} 0 \end{aligned}$$

La consistencia implica que la suma de los errores locales de discretización es pequeña cuando  $h$  es pequeña. No obstante, esta propiedad no garantiza la convergencia ya que, como ya vimos en el apartado anterior,

$$y(x_{n+1}) - y_{n+1} \neq \sum_{i=1}^{n+1} T_i.$$

Será el concepto de estabilidad el cual, unido al de consistencia, nos permita probar la convergencia. A continuación, presentamos un lema del que haremos uso en la siguiente proposición:

**Lema 1.5.0.1** (Lema de Gronwall discreto). Sea  $\{\theta\}_{n=0}^N \subset \mathbb{R}$  que satisfagan:

$$\theta_{n+1} \leq \gamma \theta_n + \alpha_{n+1}, \quad n = 0, 1, \dots, N-1. \quad (1)$$

Entonces:

$$\theta_n \leq \gamma^n \theta_0 + \sum_{i=1}^n \gamma^{n-i} \alpha_i, \quad n = 0, \dots, N \quad (2)$$

*Demostración.* Hagámoslo por inducción en  $n$ .

- Para  $n = 1$ , (2) se reduce a  $\theta_1 \leq \gamma\theta_0 + \alpha_1$ , que es (1) para  $n = 0$ .
- Supongamos ahora (2) cierto para  $n - 1 \geq 0$  y probémoslo para  $n$ :

$$\begin{aligned}
 \theta_n &\leq \gamma\theta_{n-1} + \alpha_n \\
 &\leq \gamma\left(\gamma^{n-1}\theta_0 + \sum_{i=1}^{n-1} \gamma^{n-1-i}\alpha_i\right) + \alpha_n \\
 &= \gamma^n\theta_0 + \sum_{i=1}^{n-1} \gamma^{n-i}\alpha_i + \alpha_n \\
 &= \gamma^n\theta_0 + \sum_{i=1}^n \gamma^{n-i}\alpha_i
 \end{aligned}$$

□

### 1.5.1. Esquemas perturbados

Sean  $(\delta_0, \delta_1, \dots, \delta_N), (\delta_0^*, \delta_1^*, \dots, \delta_N^*) \in (\mathbb{R}^m)^{N+1}$  dos perturbaciones dadas y sean  $(z_0, z_1, \dots, z_N), (z_0^*, z_1^*, \dots, z_N^*)$  respectivamente las soluciones de los esquemas perturbados siguientes:

$$\begin{cases} \frac{z_{n+1} - z_n}{h} = f(x_n, z_n) + \delta_{n+1}, & n = 0, 1, \dots, N-1 \\ z_0 = y_0 + \delta_0 = \eta + \bar{\eta} + \delta_0 \end{cases}$$

$$\begin{cases} \frac{z_{n+1}^* - z_n^*}{h} = f(x_n, z_n^*) + \delta_{n+1}^*, & n = 0, 1, \dots, N-1 \\ z_0^* = y_0 + \delta_0^* = \eta + \bar{\eta} + \delta_0^* \end{cases}$$

La estabilidad es la propiedad que garantiza que las soluciones de dos esquemas perturbados están próximas si los están las perturbaciones:

**Proposición 1.5.1.1 (Estabilidad).** *Con las notaciones anteriores, para todo  $h > 0$  se cumple la siguiente acotación:*

$$\max_{0 \leq n \leq N} \|z_n - z_n^*\| \leq e^{L(b-a)} \left[ \|\delta_0 - \delta_0^*\| + h \sum_{i=1}^N \|\delta_i - \delta_i^*\| \right]$$

donde  $L > 0$  es la constante de Lipschitz en las hipótesis (Hf)

*Demostración.* Si  $N = 0$ , la demostración es trivial. Por lo tanto, supongamos  $N \geq 1$ .

$$\begin{aligned}
 z_{n+1} &= z_n + hf(x_n, z_n) + h\delta_{n+1}, & n = 0, \dots, N-1 \\
 z_{n+1}^* &= z_n^* + hf(x_n, z_n^*) + h\delta_{n+1}^*, & n = 0, \dots, N-1
 \end{aligned}$$



Restando:

$$z_{n+1} - z_{n+1}^* = z_n - z_n^* + h[f(x_n, z_n) - f(x_n, z_n^*)] + h(\delta_{n+1} - \delta_{n+1}^*), \quad n = 0, \dots, N-1$$

Aplicando la desigualdad triangular y la hipótesis (Hf):

$$\underbrace{\|z_{n+1} - z_{n+1}^*\|}_{\theta_{n+1}} \leq \underbrace{(1 + hL)}_{\gamma > 0} \underbrace{\|z_n - z_n^*\|}_{\theta_n} + \underbrace{h\|\delta_{n+1} - \delta_{n+1}^*\|}_{\alpha_{n+1}}, \quad n = 0, \dots, N-1$$

Aplicando el lema 1, resulta:

$$\|z_n - z_n^*\| \leq (1 + hL)^n \|z_0 - z_0^*\| + h \sum_{i=1}^N (1 + hL)^{n-i} \|\delta_i - \delta_i^*\|, \quad n = 1, \dots, N$$

Como  $1 + hL > 1$ ,  $(1 + hL)^{n-i} \leq (1 + hL)^{n-1} \leq (1 + hL)^n$ ,  $i = 1, \dots, n$ . Además,  $z_0 - z_0^* = \delta_0 - \delta_0^*$ . Por tanto:

$$\|z_n - z_n^*\| \leq (1 + hL)^n \left[ \|\delta_0 - \delta_0^*\| + h \sum_{i=1}^N \|\delta_i - \delta_i^*\| \right], \quad n = 1, \dots, N$$

Usando que  $1 + x \leq e^x \quad \forall x \in \mathbb{R}$ , se tiene que  $1 + hL \leq e^{hL}$ , con lo cual:

$$(1 + hL)^n \leq (e^{hL})^n = e^{nhL} = e^{L(x_n - a)}.$$

Por tanto:

$$\|z_n - z_n^*\| \leq e^{L(x_n - a)} \left[ \|\delta_0 - \delta_0^*\| + h \sum_{i=1}^n \|\delta_i - \delta_i^*\| \right], \quad n = 1, \dots, N$$

y eso implica que:

$$\max_{0 \leq n \leq N} \|z_n - z_n^*\| \leq e^{L(b-a)} \left[ \|\delta_0 - \delta_0^*\| + h \sum_{i=1}^N \|\delta_i - \delta_i^*\| \right]$$

como queríamos demostrar. □

**Definición 1.5.1.2.** Por cumplirse la acotación de la proposición anterior, decimos que el método de Euler Explícito es *estable*.

## 1.6. Convergencia

Se entiende por convergencia de un método numérico la garantía de que, al realizar un buen número de iteraciones ( $h$  suficientemente pequeño), la aproximación  $y_n$  terminan por acercarse cada vez más a la solución exacta  $y(x_n)$ .

**Teorema 1.6.0.1** (de Convergencia). *Sea*

$$\begin{cases} \frac{y_{n+1} - y_n}{h} = f(x_n, y_n), & n = 0, \dots, N-1 \\ y_0 = \eta + \bar{\eta} \end{cases}$$

*Supongamos que la perturbación de la condición inicial  $\bar{\eta}$  es una función de  $h$  tal que*

$$\lim_{h \rightarrow 0^+} \bar{\eta}(h) = 0$$

*Entonces*

$$\lim_{h \rightarrow 0^+} \left( \max_{0 \leq n \leq N} \|y(x_n) - y_n\| \right) = 0$$

*Demostración.* La idea fundamental de la demostración es que  $\{y(x_n)\}_{n=0}^{\infty}$  verifica un esquema perturbado con las perturbaciones dadas por  $\tau_n$ .

La solución exacta  $y = y(x)$  del (PVI) es

$$\begin{cases} y' = f(x, y) \\ y(a) = \eta \end{cases}$$

luego la solución de la esquema perturbado es

$$\begin{cases} \frac{y(x_{n+1}) - y(x_n)}{h} = f(x_n, y(x_n)) + \tau_{n+1}, & n = 0, \dots, N-1 \\ y(x_0) = \eta = \eta + \bar{\eta} + (-\bar{\eta}) \end{cases}$$

$\parallel$   
 $\delta_{n+1}$

$\parallel$   
 $\delta_0$

El problema discreto puede verse como un esquema perturbado con perturbaciones nulas:

$$\begin{cases} \frac{y_{n+1} - y_n}{h} = f(x_n, y_n) + \tau_{n+1}, & n = 0, \dots, N-1 \\ y_0 = \eta + \bar{\eta} + 0 \end{cases}$$

$\parallel$   
 $\delta_{n+1}^*$

$\parallel$   
 $\delta_0^*$

En virtud de la estabilidad:

$$\max_{0 \leq n \leq N} \|y(x_n) - y_n\| \leq e^{L(b-a)} \left[ \|\bar{\eta}(h)\| + h \sum_{i=1}^N \|\tau_i\| \right] \leq e^{L(b-a)} \left[ \|\bar{\eta}(h)\| + hN \max_{1 \leq n \leq N} \|\tau_i\| \right]$$

Por tanto:

$$\max_{0 \leq n \leq N} \|y(x_n) - y_n\| \leq e^{L(b-a)} \left[ \underbrace{\|\bar{\eta}(h)\|}_{\substack{\downarrow 0 \\ \text{por hipótesis}}} + (b-a) \underbrace{\max_{1 \leq n \leq N} \|\tau_i\|}_{\substack{\downarrow 0 \\ \text{por consistencia}}} \right]$$

Con lo cual:

$$\lim_{h \rightarrow 0^+} \left( \max_{0 \leq n \leq N} \|y(x_n) - y_n\| \right) = 0$$

□

**Definición 1.6.0.2.** *Por cumplirse el teorema anterior, se dice que el método de Euler Explícito es **convergente**.*

**Observación 1.6.0.3.** Supongamos que la solución exacta  $y = y(x)$  del (PVI) es de clase  $\mathcal{C}^2([a, b])$  y que  $\bar{\eta}(h) = O(h)$ . Entonces, en virtud de (EE1)

$$\max_{0 \leq n \leq N} \|y(x_n) - y_n\| \leq e^{L(b-a)} \left[ ch + (b-a) \frac{M_2}{2} h \right] = \tilde{c}h \Rightarrow \max_{0 \leq n \leq N} \|y(x_n) - y_n\| = O(h)$$

Por este motivo se dice que el método de Euler Explícito es **al menos convergente de orden 1**. Como además, en general con  $y = y(x)$  regular se tiene que

$$\max_{0 \leq n \leq N} \|y(x_n) - y_n\| \neq O(h^p), \quad p > 1,$$

se dice que el método de Euler es **convergente exactamente de orden 1**.

**Observación 1.6.0.4.** Supongamos que para un valor  $x \in [a, b]$  queremos aproximar  $y(x)$ . Parece razonable forzar el  $h > 0$  a tomar de forma que  $x = x_n = a + nh$ , para algún  $n \in \mathbb{N}$  con objeto de que  $y_n \approx y(x_n) = y(x)$ . Podemos considerar el límite:

$$\lim_{\substack{h \rightarrow 0^+ \\ nh = x-a}} y_n(h) = \lim_{\substack{n \rightarrow +\infty \\ nh = x-a}} y_n(h) = \lim_{n \rightarrow +\infty} y_n\left(\frac{x-a}{h}\right)$$

Se tiene que:

$$\lim_{h \rightarrow 0^+} \left( \max_{0 \leq n \leq N} \|y(x_n) - y_n\| \right) = 0 \Rightarrow \lim_{\substack{h \rightarrow 0^+ \\ nh = x-a}} y_n(h) = y(x) \quad \forall x \in [a, b]$$

En efecto, dado  $x \in [a, b]$ . Consideramos  $h > 0$  y  $n \in \mathbb{N} / nh = x - a (\Leftrightarrow x = x_n)$

$$0 \leq \|y_n(h) - y(x)\| = \|y_n(h) - y(x_n)\| \leq \max_{0 \leq j \leq N} \|y_j(h) - y(x_j)\| \longrightarrow 0$$

## 1.7. Estabilidad numérica

El análisis anteriormente realizado muestra que si aproximamos correctamente las condiciones iniciales y consideramos un intervalo temporal fijo, podemos aproximar la solución en los nodos con precisión arbitraria. Bastará con tomar  $h$  suficientemente pequeño. No obstante, habrá situaciones en las que a efectos prácticos ese  $h$  sea demasiado pequeño (es decir, que los errores de redondeo terminando afectando de manera notable a los cálculos). Por otra parte, el estudio no dice nada sobre el comportamiento asintótico de  $\{y_n\}$  cuando  $n \rightarrow \infty$  con  $h$  fijo.

Por ello resulta interesante el estudio de la estabilidad numérica:

- método numéricamente estable  $\rightarrow$  el método genera soluciones acotadas
- método numéricamente inestable  $\rightarrow$  el método **NO** genera soluciones acotadas

En nuestro caso simplemente estudiaremos la familia de PVI's lineales, lo que justifica el nombre a continuación:

## Estabilidad numérica lineal

El citado estudio se restringe a:

- problema escalar:  $y' = \lambda y, \lambda \in \mathbb{C}$  (ecuación de Dahlquist)
- problema vectorial:  $y' = Ay, A \in \mathcal{M}_{m \times m}(\mathbb{R})$  diagonalizable

### 1.7.1. Problema escalar

$$\begin{cases} y' = \lambda y, & \lambda \in \mathbb{C} \\ y(a) = \eta, & \eta \in \mathbb{C} \end{cases}$$

La solución exacta es  $y(x) = \eta e^{\lambda(x-a)} \Rightarrow |y(x)| = |\eta| e^{Re(\lambda)(x-a)}$ . Supongamos  $\eta \neq 0$ , entonces:

- Si  $Re(\lambda) > 0 \Rightarrow |y(x)| \nearrow +\infty$  exponencialmente cuando  $x \rightarrow +\infty$
- Si  $Re(\lambda) = 0 \Rightarrow |y(x)| = |\eta| \quad \forall x \in [a, +\infty)$
- Si  $Re(\lambda) < 0 \Rightarrow |y(x)| \searrow 0$  exponencialmente cuando  $x \rightarrow +\infty$

Así pues:  $Re(\lambda) \leq 0 \Rightarrow y(x)$  acotada en  $[a, +\infty)$

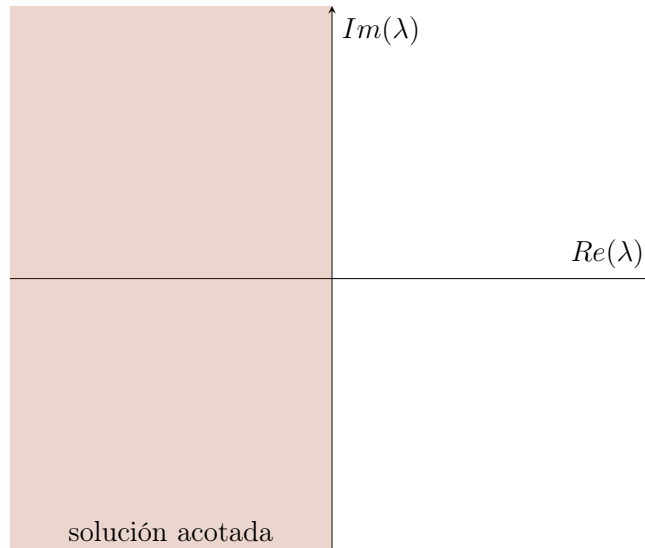


Figura 1.2: Región donde la solución exacta está acotada ( $\mathbb{C}^-$ )

Entonces se vuelve bastante pertinente la siguiente pregunta: ¿Bajo qué condiciones el método de Euler Explícito genera soluciones numéricas acotadas  $\{y_n\}_{n=0}^{+\infty}$ ? Apliquemos el método a la ecuación de Dahlquist:

$$\frac{y_{n+1} - y_n}{h} = \lambda y_n \Rightarrow y_{n+1} = (1+h\lambda)y_n, \quad n \geq 0 \Rightarrow y_n = (1+h\lambda)^n y_0 \quad \forall n \geq 0 \Rightarrow |y_n| = |1+h\lambda|^n |y_0|$$

Supongamos  $y_0 \neq 0$ :

$$\begin{aligned} \{y_n\}_{n=0}^{+\infty} \text{ acotada} &\Leftrightarrow |1+h\lambda|^n \text{ acotada} \Leftrightarrow |1+h\lambda| \leq 1 \Leftrightarrow \left| \frac{1}{h} + \lambda \right| \leq \left| \frac{1}{h} \right| \Leftrightarrow \left| \lambda - \left(-\frac{1}{h}\right) \right| \leq \frac{1}{h} \\ &\Leftrightarrow \lambda \in \overline{D\left(-\frac{1}{h}, \frac{1}{h}\right)}, \text{ siendo } \overline{D(c, r)} \text{ el disco cerrado de centro } c \text{ y radio } r \end{aligned}$$

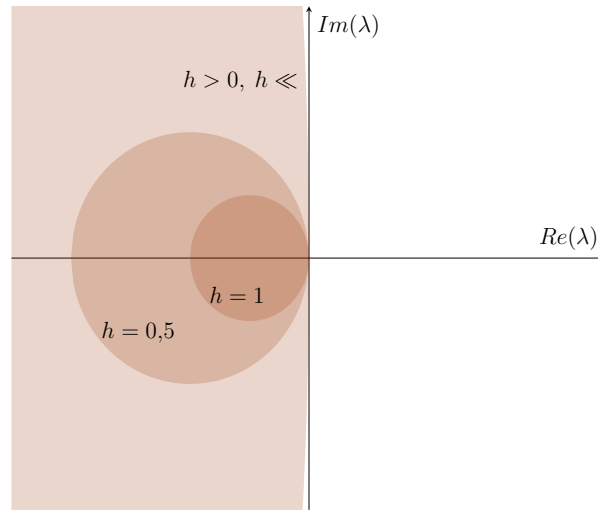


Figura 1.3: Región donde la solución numérica está acotada

Dado  $h > 0$ , la región de los valores  $\lambda \in \mathbb{C}$  tales que  $\{y_n\}_{n=0}^{+\infty}$  está acotada es

$$R^{EE}(h) = \{\lambda \in \mathbb{C} / |1+h\lambda| \leq 1\} = \overline{D\left(-\frac{1}{h}, \frac{1}{h}\right)}.$$

$R^{EE}(h)$  depende de  $h$  y es una región acotada  $\forall h > 0$ . Por lo tanto, se tiene que:

$$\forall h > 0, \quad \mathbb{C}^- = \{\lambda \in \mathbb{C} / \operatorname{Re}(\lambda) \leq 0\} \not\subset R^{EE}(h),$$

es decir,

$$\forall h > 0, \quad \exists \lambda \in \mathbb{C}, \quad \operatorname{Re}(\lambda) \leq 0 / \{y_n\}_{n=0}^{\infty} \text{ no está acotada.}$$

Recordemos que  $y_{n+1} = (1+h\lambda) \cdot y_n$ , por tanto, es pertinente dar la siguiente definición:

**Definición 1.7.1.1.** Llamamos **función de estabilidad** o **factor de ampliación** del método de Euler Explícito  $A^{EE}$  a la siguiente función:

$$A^{EE}(z) = 1 + z, \quad z \in \mathbb{C}$$

Como salta a la vista,  $y_{n+1} = A^{EE}(h\lambda) \cdot y_n$

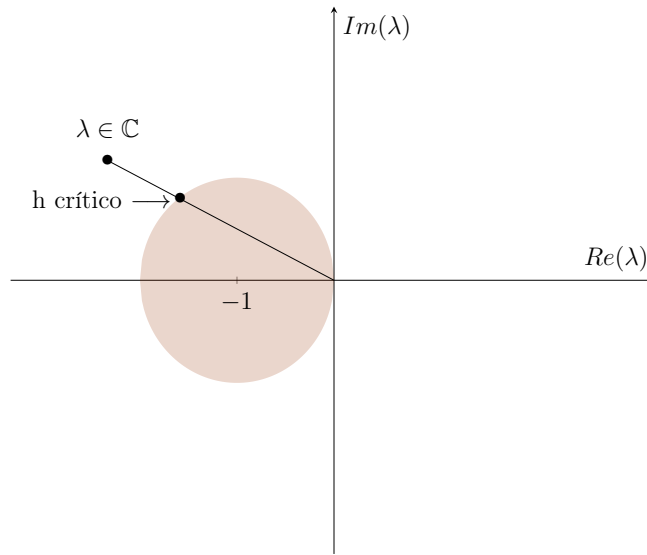
**Definición 1.7.1.2.** Llamamos *región de estabilidad absoluta* o *región A-estable* a la región de  $\mathbb{C}$  donde  $\{y_n\}_{n=0}^{\infty}$  está acotada:

$$R^{EE} = \{z \in \mathbb{C} / |A^{EE}(z)| \leq 1\} = \{z \in \mathbb{C} / |1 + z| \leq 1\} = \overline{D(-1, 1)}$$

Dado  $h > 0$

$$\begin{aligned} R^{EE}(h) &= \{\lambda \in \mathbb{C} / |1 + h\lambda| \leq 1\} = \{\lambda \in \mathbb{C} / |A^{EE}(h\lambda)| \leq 1\} = \{\lambda \in \mathbb{C} / h\lambda \in R^{EE}\} \\ &= \{\lambda \in \mathbb{C} / h\lambda \in \overline{D(-1, 1)}\} \end{aligned}$$

En la práctica interesa, dado un  $\lambda \in \mathbb{C}$ , buscar los valores de  $h > 0$  para los cuales hay estabilidad numérica, es decir,  $h\lambda \in R^{EE}$



Si  $\lambda \in \mathbb{C}$  con  $Re(\lambda) < 0$ , entonces para  $h > 0$  suficientemente pequeño,  $h\lambda \in \overline{D(-1, 1)}$ . Más concretamente, si  $\lambda \in \mathbb{C}$  con  $Re(\lambda) < 0$ ,

$$\{h > 0 / h\lambda \in \overline{D(-1, 1)}\} = \{h > 0 / |1 + h\lambda| \leq 1\} = (0, \frac{-2Re\lambda}{|\lambda|^2}]$$

En efecto:

$$\begin{aligned} |1 + h\lambda| \leq 1 &\Leftrightarrow |1 + h\lambda|^2 \leq 1 \Leftrightarrow (1 + hRe\lambda)^2 + (hIm\lambda)^2 \leq 1 \\ &\Leftrightarrow 1 + 2hRe\lambda + h^2[(Re\lambda)^2 + (Im\lambda)^2] \leq 1 \\ &\Leftrightarrow 1 + 2hRe\lambda + h^2|\lambda|^2 \leq 1 \Leftrightarrow 2hRe\lambda + h^2|\lambda|^2 \leq 0 \Leftrightarrow 2Re\lambda + h|\lambda|^2 \leq 0 \\ &\Leftrightarrow h \leq \frac{-2Re\lambda}{|\lambda|^2} \end{aligned}$$

Entonces hay estabilidad numérica  $\Leftrightarrow 0 < h \leq \frac{-2Re\lambda}{|\lambda|^2}$

Si  $\lambda \in \mathbb{R}$ ,  $\lambda < 0$ , hay estab. numérica si  $0 < h \leq \frac{2}{|\lambda|}$

**Ejemplo 1.7.1.3.**  $\lambda = -10^4$

$$\left\{ \begin{array}{l} y' = -10^4 y \\ y(0) = 1 \end{array} \right\} \Rightarrow y(x) = e^{-10^4 x}$$

Hay estabilidad numérica  $\Leftrightarrow 0 < h \leq 2 \cdot 10^{-4}$

Dado que  $\mathbb{C}^- := \{z \in \mathbb{C} / \operatorname{Re} z \leq 0\} \not\subset R^{EE}(= \overline{D(-1, 1)})$ , se dice que **el método de Euler Explícito no es A-estable** (no contiene al semiplano izquierdo). Con lo cual,

$$\exists \lambda \in \mathbb{C} \text{ con } \operatorname{Re} \lambda \leq 0 \text{ para los cuales } \exists h > 0 / h\lambda \notin R^{EE},$$

y por tanto, para esos valores de  $h$  y  $\lambda$  no hay estabilidad numérica.

### 1.7.2. Problema vectorial

Consideremos el siguiente PVI:

$$\left\{ \begin{array}{l} y' = Ay \\ y(a) = \eta \end{array} \right.$$

donde  $A \in \mathcal{M}_{m \times m}(\mathbb{R})$  diagonalizable y  $\eta \in \mathbb{R}^m$

$$A \text{ diag.} \Leftrightarrow \exists P \in \mathcal{M}_{m \times m}(\mathbb{C}) \text{ no singular} / P^{-1}AP = \Lambda, \quad \Lambda = \begin{pmatrix} \lambda_1 & & \\ & \ddots & \\ & & \lambda_m \end{pmatrix}.$$

$$A = P\Lambda P^{-1} \Rightarrow y' = P\Lambda P^{-1}y \Rightarrow \frac{d}{dx}(P^{-1}y) = \Lambda P^{-1}y$$

Realizando el cambio de variable  $z = P^{-1}y$  obtenemos el PVI:

$$\left\{ \begin{array}{l} z' = \Lambda z \\ z(a) = P^{-1}y(a) = P^{-1}\eta \end{array} \right.$$

Por lo tanto, concluimos que el diagrama a continuación es conmutativo:

$$\begin{array}{ccccc} \left\{ \begin{array}{l} \frac{dy}{dx} = Ay \\ y(a) = \eta \end{array} \right. & \xrightarrow[\substack{\text{diagonaliz.} \\ z = P^{-1}y}]{\substack{\text{desacoplar}}} & \left\{ \begin{array}{l} \frac{dz}{dx} = \Lambda z \\ z(a) = P^{-1}y(a) = P^{-1}\eta \end{array} \right. & \xrightarrow{\text{desacoplar}} & \left\{ \begin{array}{l} \frac{d^i z}{dx} = \lambda_i^i z \\ {}^i z(a) = {}^i [P^{-1}\eta] \end{array} \right. \\ \downarrow \text{EE} & & \downarrow \text{EE} & & \downarrow \text{EE} \\ \left\{ \begin{array}{l} \frac{y_{n+1} - y_n}{h} = Ay_n \\ y(a) = \eta \end{array} \right. & \xrightarrow[\substack{\text{diagonaliz.} \\ z = P^{-1}y}]{\substack{\text{desacoplar}}} & \left\{ \begin{array}{l} \frac{z_{n+1} - z_n}{h} = \Lambda z_n \\ z(a) = P^{-1}\eta \end{array} \right. & \xrightarrow{\text{desacoplar}} & \left\{ \begin{array}{l} \frac{{}^i z_{n+1} - {}^i z_n}{h} = \lambda_i^i {}^i z_n \\ {}^i z(a) = {}^i [P^{-1}\eta] \end{array} \right. \end{array}$$

Hay estabilidad numérica  $\Leftrightarrow h\lambda_i \in R^{EE} \quad \forall i = \{1, \dots, m\}$





# Capítulo 2

## Método de Euler Implícito/regresivo

### 2.1. Motivación

$$(\text{PVI}) \begin{cases} y' = f(x, y), & x \in [a, b] \\ y(a) = \eta, & \eta \in \mathbb{R}^m \text{ dado} \end{cases}$$

La solución exacta  $y = y(x)$  del (PVI) cumple  $y'(x_{n+1}) = f(x_{n+1}, y(x_{n+1}))$ :

$$y'(x_{n+1}) \approx \frac{y(x_{n+1}) - y(x_{n+1} - h)}{h} = \frac{y(x_{n+1}) - y(x_n)}{h}$$

con lo cual se verifica:

$$\frac{y(x_{n+1}) - y(x_n)}{h} \approx f(x_{n+1}, y(x_{n+1}))$$

### 2.2. Esquema del método

$$\left\{ \begin{array}{l} \frac{y_{n+1} - y_n}{h} = f(x_{n+1}, y_{n+1}) \\ y_0 = \eta + \bar{\eta} \end{array} \right\} \Rightarrow y_{n+1} = y_n + hf(x_{n+1}, y_{n+1}) \quad (\text{EI1})$$

Nótese el carácter implícito: conocido  $y_n$ , para calcular  $y_{n+1}$  es preciso resolver un sistema de ecuaciones no lineales:

$$y_{n+1} = y_n + hf(x_{n+1}, y_{n+1}) \Leftrightarrow F(y_{n+1}) = 0, \quad F(z) = z - y_n - hf(x_{n+1}, z)$$

**Proposición 2.2.0.1.** *Para  $h$  suficientemente pequeño, el sistema (EI1) tiene solución y es única. Además, puede ser calculada por el método de iteración funcional*

*Demostración.* Recordemos que  $f$  cumple (Hf).

- Si  $L = 0$ , el resultado es trivial ya que  $f$  no depende de  $y$ .

- Supongamos  $L > 0$ . Fijado  $n \in \{0, 1, \dots, N-1\}$ , consideremos la aplicación  $g : \mathbb{R}^m \longrightarrow \mathbb{R}^m$  definida por:

$$g(y) = y_n + hf(x_{n+1}, y), \quad y \in \mathbb{R}^m$$

$y_{n+1}$  es solución de (EI1)  $\Leftrightarrow y_{n+1} = g(y_{n+1})$ , es decir,  $y_{n+1}$  es un punto fijo de  $g$ . Probaremos que  $g$  es contractiva (en  $\mathbb{R}^m$ ) para  $h > 0$  suficientemente pequeño, lo que garantizará que  $g$  tiene un único punto fijo.

$$\begin{aligned} \|g(y) - g(y^*)\| &= \|(y_n + hf(x_{n+1}, y)) - (y_n + hf(x_{n+1}, y^*))\| = h\|f(x_{n+1}, y) - f(x_{n+1}, y^*)\| \\ &\leq hL\|y - y^*\| \quad \forall y, y^* \in \mathbb{R}^m \end{aligned}$$

En consecuencia, si  $0 < h < 1/L$ ,  $g$  es contractiva y por tanto el sistema (EI1) tiene solución única. La denotamos por  $y_{n+1}$

□

Además, el teorema de la aplicación contractiva asegura que cualquiera que sea el punto inicial  $y_{n+1}^{[0]} \in \mathbb{R}^m$ , la sucesión

$$\{y_{n+1}^{[\nu]}\}_{\nu=0}^{\infty}$$

definida por

$$y_{n+1}^{[\nu+1]} = g(y_{n+1}^{[\nu]}) \quad \nu = 0, 1, \dots$$

converge a  $y_{n+1}$  y el error de convergencia satisface

$$\|y_{n+1}^{[\nu]} - y_{n+1}\| \leq \frac{(hL)^\nu}{1 - hL} \|y_{n+1}^{[1]} - y_{n+1}^{[0]}\|$$

Se llama método de iteración funcional, método de iteración de punto fijo o método de los iterantes de Picard.

### 2.2.1. Elección del punto inicial

- $y_{n+1}^{[0]} = y_n$  ya que  $y_n \approx y(x_n) \stackrel{\text{h peq}}{\approx} y(x_{n+1}) \approx y_{n+1}$
- $y_{n+1}^{[0]} = y_n + hf(x_n, y_n)$  que es la aproximación de  $y(x_{n+1})$  dando un paso de Euler Explícito a partir de  $y_n$

### 2.2.2. Método de Newton

Hay casos en los que se desea tomar un valor de  $h > \frac{1}{L}$ . Dado que la aplicación  $g$  entonces deja de ser contractiva, resulta de interés aplicar el método de Newton para resolver numéricamente (EI1). Definimos  $F : \mathbb{R}^m \longrightarrow \mathbb{R}^m$  por:

$$F(z) = z - y_n - hf(x_{n+1}, z)$$

$$y_{n+1} \text{ solución de (EI1)} \Leftrightarrow F(y_{n+1}) = 0$$

$$DF(z) = I_m - h \cdot \frac{\partial f}{\partial z}(x_{n+1}, z)$$

$$\begin{cases} y_{n+1}^{[0]} \in \mathbb{R}^m & \text{dado} \\ y_{n+1}^{[\nu+1]} = y_{n+1}^{[\nu]} - [DF(y_{n+1}^{[\nu]})]^{-1} \cdot F(y_{n+1}^{[\nu]}), & \nu = 0, 1, \dots \end{cases}$$

Para evitar tener que calcular la inversa de una matriz es equivalente al siguiente esquema:

$$\begin{cases} \Delta^{[\nu]} \in \mathbb{R}^m \\ DF(y_{n+1}^{[\nu]}) \cdot \Delta^{[\nu]} = -F(y_{n+1}^{[\nu]}) \\ y_{n+1}^{[\nu+1]} = y_{n+1}^{[\nu]} + \Delta^{[\nu]} \end{cases}$$

## 2.3. Interpretación geométrica

En el caso escalar:

$$y_{n+1} = y_n + hf(x_{n+1}, y^*)$$

Desde puntos de la forma  $(x_{n+1}, y^*)$  trazamos la recta que pasa por ese punto y tiene pendiente  $f(x_{n+1}, y^*)$ . Sobre esa recta, retrocedemos  $h$  para obtener el punto  $(x_n, y^* - hf(x_{n+1}, y^*))$ . El valor de  $y_{n+1}$  estará definido por aquel  $y^*$  tal que  $x_n, y_n = (x_n, y^* - hf(x_{n+1}, y^*))$ .

En la siguiente figura los segmentos grises representan posibles rectas que se trazan cuyo valor en  $x_n$  no coincide con el de  $y_n$ .

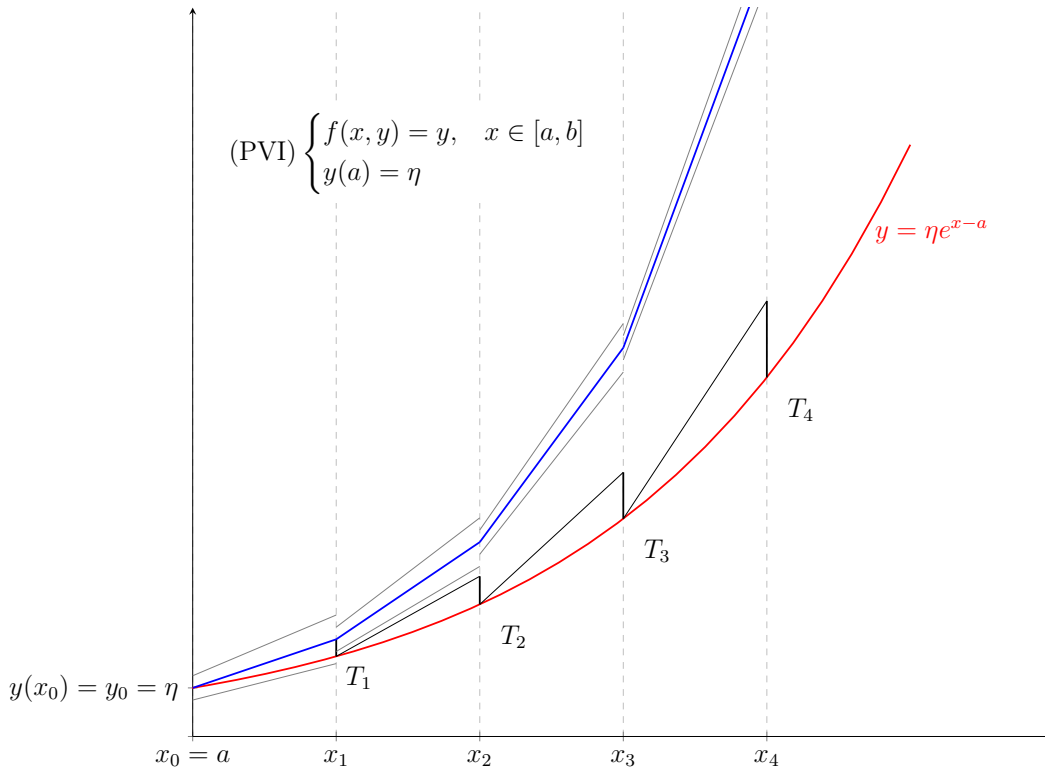


Figura 2.1: Interpretación geométrica de Euler Implícito

**Observación 2.3.0.1.** En la figura 2.1 las líneas grises representan rectas que no son solución del sistema.

**Observación 2.3.0.2.** Nótese que:

- El proceso es implícito
- Nada garantiza, a priori, la existencia de tal punto, y en caso de que exista, tampoco estará garantizada su unicidad.

## 2.4. Consistencia y orden de consistencia

Al igual que en el método de Euler Explícito, el método de Euler Implícito se puede expresar de la siguiente manera:

$$\frac{y_{n+1} - y_n}{h} - f(x_{n+1}, y_{n+1}) = 0$$

Nuevamente esto nos invita a realizar la siguiente definición:

**Definición 2.4.0.1.** Para  $n=0, \dots, N-1$  se definen los vectores  $\tau_{n+1}$  mediante:

$$\tau_{n+1} = \frac{y(x_{n+1}) - y(x_n)}{h} - f(x_{n+1}, y(x_{n+1})), \quad n = 0, 1, \dots, N-1 \quad (\text{EI2})$$

donde  $y = y(x)$  es una solución exacta de la EDO  $y' = f(x, y)$ .  $\tau_n$  depende de  $h$  y  $\eta$

**Observación 2.4.0.2.** En este caso, si definimos

$$T_{n+1} = h \cdot \tau_{n+1}$$

bajo las hipótesis de localización ( $y(x_n) = y_n$ ), se tiene, en general,

$$y(x_{n+1}) - y_{n+1} \neq T_{n+1}$$

*Demostración.*

$$(\text{EI2}) \Rightarrow y(x_{n+1}) = y(x_n) + hf(x_{n+1}, y(x_{n+1})) + h\tau_{n+1}$$

$$(\text{EI1}) \Rightarrow y_{n+1} = y_n + hf(x_{n+1}, y_{n+1})$$

Restando:

$$y(x_{n+1}) - y_{n+1} = \underbrace{y(x_n) - y_n}_{\substack{\parallel \\ 0}} + h \underbrace{[f(x_{n+1}, y(x_{n+1})) - f(x_{n+1}, y_{n+1})]}_{\substack{\nparallel \\ 0 \text{ (en general)}}} + h\tau_{n+1}$$

□

**Observación 2.4.0.3.** De hecho, puede probarse que:

$$y(x_{n+1}) - y_{n+1} = h\tau_{n+1} + \|\tau_{n+1}\| \cdot O(h^2)$$

*Demostración.*

$$\begin{aligned} h\|f(x_{n+1}, y(x_{n+1})) - f(x_{n+1}, y_{n+1})\| &\leq hL\|y(x_{n+1}) - y_{n+1}\| \\ &\leq h^2L\|\tau_{n+1}\|(1 + O(h^2)) \\ &= \|\tau_{n+1}\| \cdot O(h^2) \end{aligned}$$

□

**Proposición 2.4.0.4** (Consistencia y orden de consistencia). *Sea  $y = y(x)$  una solución exacta de la EDO  $y' = f(x, y)$ . Entonces:*

1.  $\lim_{h \rightarrow 0^+} \left( \max_{1 \leq n \leq N} \|\tau_n\| \right) = 0$
2. Si además  $y \in \mathcal{C}^2([a, b])$ , entonces  $\max_{1 \leq n \leq N} \|\tau_n\| = O(h)$

*Demostración.*

1. Análogo a lo que hacíamos en Euler Explícito:

$$\tau_{n+1} = \frac{y(x_{n+1}) - y(x_n)}{h} - y'(x_{n+1}), \quad n = 0, 1, \dots, N-1 \quad (\text{EI3})$$

Como  $y$  es solución de  $y' = f(x, y)$ ,  $y \in \mathcal{C}^1([a, b])$

$$\begin{aligned} \tau_{n+1} &= \frac{1}{h} \int_{x_n}^{x_{n+1}} y'(s) ds - y'(x_{n+1}) = \frac{1}{h} \int_{x_n}^{x_{n+1}} (y'(s) - y'(x_{n+1})) ds \\ \Rightarrow \|\tau_{n+1}\| &\leq \frac{1}{h} \int_{x_n}^{x_{n+1}} \|y'(s) - y'(x_{n+1})\| ds \leq \max_{s \in [x_n, x_{n+1}]} \|y'(s) - y'(x_{n+1})\|, \quad n = 0, 1, \dots, N-1 \\ \Rightarrow \max_{1 \leq n \leq N} \|\tau_n\| &\leq \max_{\substack{s, t \in [a, b] \\ |s-t| \leq h}} \|y'(s) - y'(t)\| \xrightarrow[h \rightarrow 0^+]{\substack{y' \text{ unif.} \\ \text{cont.en}[a, b]}} 0 \end{aligned}$$

2. Supongamos que  $y \in \mathcal{C}^2([a, b])$ . Aplicamos la fórmula de Taylor con resto integral:

$$y(x_n) = y(x_{n+1} - h) = y(x_{n+1}) - hy'(x_{n+1}) + \int_{x_{n+1}}^{x_n} (x_n - s) y''(s) ds$$

Sustituimos esto en (EI3), obteniendo:

$$\begin{aligned} \tau_{n+1} &= \frac{1}{h} \int_{x_n}^{x_{n+1}} (x_n - s) y''(s) ds \Rightarrow \|\tau_{n+1}\| \leq \frac{1}{h} \int_{x_n}^{x_{n+1}} (s - x_n) \|y''(s)\| ds \\ &\leq \frac{M_2}{h} \int_{x_n}^{x_{n+1}} (s - x_n) ds \end{aligned}$$

Como  $\int_{x_n}^{x_{n+1}} (s - x_n) ds = \frac{1}{2} h^2$ , obtenemos:

$$\|\tau_{n+1}\| \leq \frac{M_2}{2} h$$

□

**Ejercicio 2.4.0.5.** Probar que para Euler Implícito, si  $y \in \mathcal{C}^3([a, b])$

$$\tau_{n+1} = -\frac{h}{2} y''(x_{n+1}) + O(h^2)$$

*Demostración.* Aplicando la fórmula de Taylor con resto integral, al igual que lo que pasaba en Euler Explícito es evidente que  $\|\tau_{n+1}\| = O(h)$  ya que tendremos siempre un término  $O(h)$ .

$$y(x_n) = y(x_{n+1}) - hy'(x_{n+1}) + h^2 y''(x_{n+1}) + O(h^3) \Rightarrow \tau_{n+1} = -\frac{h}{2} y''(x_{n+1}) + O(h^2)$$

□

**Definición 2.4.0.6.** *Por cumplirse 1., Euler Implícito es consistente con la EDO  $y' = f(x, y)$ . Al cumplirse para cualquier  $f$  en la hipótesis (Hf), decimos que Euler Implícito es consistente. Por otra parte, sabemos que si  $y \in C^2([a, b])$ ,*

$$\max_{1 \leq n \leq N} \|\tau_n\| = O(h)$$

*En general, para una  $y$  suficientemente regular,*

$$\max_{1 \leq n \leq N} \|\tau_n\| \neq O(h^p), \quad p > 1.$$

*Por cumplirse ambas cosas decimos que Euler Implícito es consistente de orden 1 o que tiene orden 1 de consistencia*

## 2.5. Estabilidad

**Lema 2.5.0.1.** *Para todo  $x \in \mathbb{R}, x \neq 1$ ,*

$$\frac{1}{1-x} \leq \exp\left(\frac{x}{1-x}\right)$$

*Demostración.* Para  $x \in \mathbb{R}, x \neq 1$

$$\frac{1}{1-x} = 1 + \frac{x}{1-x} \leq \exp\left(\frac{x}{1-x}\right) \quad (1+s \leq e^s \quad \forall s \in \mathbb{R})$$

□

### 2.5.1. Esquemas perturbados

Sean  $(\delta_0, \delta_1, \dots, \delta_N), (\delta_0^*, \delta_1^*, \dots, \delta_N^*) \in (\mathbb{R}^m)^{N+1}$  dos perturbaciones dadas y sean  $(z_0, z_1, \dots, z_N), (z_0^*, z_1^*, \dots, z_N^*) \in (\mathbb{R}^m)^{N+1}$  respectivamente las soluciones de los esquemas perturbados siguientes:

$$\begin{cases} \frac{z_{n+1} - z_n}{h} = f(x_{n+1}, z_{n+1}) + \delta_{n+1}, & n = 0, 1, \dots, N-1 \\ z_0 = y_0 + \delta_0 = \eta + \bar{\eta} + \delta_0 \end{cases}$$

$$\begin{cases} \frac{z_{n+1}^* - z_n^*}{h} = f(x_{n+1}, z_{n+1}^*) + \delta_{n+1}^*, & n = 0, 1, \dots, N-1 \\ z_0^* = y_0 + \delta_0^* = \eta + \bar{\eta} + \delta_0^* \end{cases}$$

**Proposición 2.5.1.1** (Estabilidad). *Con las notaciones anteriores, se cumple  $\forall h > 0$  la acotación:*

$$\max_{0 \leq n \leq N} \|z_n - z_n^*\| \leq \exp\left(\frac{L(b-a)}{1-h_0L}\right) \left[ \|\delta_0 - \delta_0^*\| + h \sum_{i=1}^N \|\delta_i - \delta_i^*\| \right]$$

*Demostración.*

$$\begin{aligned} z_{n+1} &= z_n + hf(x_{n+1}, z_{n+1}) + h\delta_{n+1}, & n = 0, \dots, N-1 \\ z_{n+1}^* &= z_n^* + hf(x_{n+1}, z_{n+1}^*) + h\delta_{n+1}^*, & n = 0, \dots, N-1 \end{aligned}$$

Restando:

$$z_{n+1} - z_{n+1}^* = z_n - z_n^* + h[f(x_{n+1}, z_{n+1}) - f(x_{n+1}, z_{n+1}^*)] + h(\delta_{n+1} - \delta_{n+1}^*)$$

Aplicando la desigualdad triangular y la hipótesis (Hf):

$$\|z_{n+1} - z_{n+1}^*\| \leq \|z_n - z_n^*\| + hL\|z_{n+1} - z_{n+1}^*\| + h\|\delta_{n+1} - \delta_{n+1}^*\|$$

Como  $h \leq h_0$  y  $h_0L < 1$ , se tiene que  $1 - hL > 0$ . Por tanto:

$$\underbrace{\|z_{n+1} - z_{n+1}^*\|}_{\theta_{n+1}} \leq \underbrace{\frac{1}{1-hL}}_{\gamma > 0} \cdot \underbrace{\|z_n - z_n^*\|}_{\theta_n} + \underbrace{\frac{h}{1-hL}\|\delta_{n+1} - \delta_{n+1}^*\|}_{\alpha_{n+1}}, \quad n = 0, \dots, N-1$$

Aplicamos el Lema 1:

$$\|z_n - z_n^*\| \leq \left(\frac{1}{1-hL}\right)^n \|z_0 - z_0^*\| + h \sum_{i=1}^N \left(\frac{1}{1-hL}\right)^{n+1-i} \|\delta_i - \delta_i^*\|, \quad n = 1, \dots, N$$

$$\begin{aligned} 0 &< \frac{1}{1-hL} \leq \exp\left(\frac{hL}{1-hL}\right) \\ \Rightarrow \left(\frac{1}{1-hL}\right)^n &\leq \exp\left(\frac{hL}{1-hL}\right)^n = \exp\left(\frac{nhL}{1-hL}\right) = \exp\left(\frac{L(x_n - a)}{1-hL}\right) \end{aligned}$$

$$\begin{aligned} 0 < h \leq h_0 &\Rightarrow 1 - hL \geq 1 - h_0L > 0 \\ &\Rightarrow \frac{1}{1-hL} \leq \frac{1}{1-h_0L} \\ &\Rightarrow \exp\left(\frac{L(x_n - a)}{1-hL}\right) \leq \exp\left(\frac{L(x_n - a)}{1-h_0L}\right) \end{aligned}$$

Por tanto:

$$\|z_n - z_n^*\| \leq \exp\left(\frac{L(x_n - a)}{1-h_0L}\right) \left[ \|\delta_0 - \delta_0^*\| + h \sum_{i=1}^n \|\delta_i - \delta_i^*\| \right], \quad n = 0, \dots, N$$

Luego:

$$\max_{0 \leq n \leq N} \|z_n - z_n^*\| \leq \exp\left(\frac{L(b-a)}{1-h_0L}\right) \left[ \|\delta_0 - \delta_0^*\| + h \sum_{i=1}^n \|\delta_i - \delta_i^*\| \right], \quad n = 0, \dots, N$$

□



## 2.6. Convergencia

La solución exacta del PVI  $y = y(x)$  cumple:

$$\begin{cases} \frac{y(x_{n+1}) - y(x_n)}{h} = f(x_{n+1}, y(x_{n+1})) + \tau_{n+1}, & n = 0, \dots, N-1 \\ y(x_0) = \eta + \bar{\eta} - \bar{\eta} \end{cases}$$

$\{y_n\}_{n=0}^N$  es solución de un esquema perturbado con perturbación cero. Aplicando la estabilidad de Euler Implícito, para  $h \in (0, h_0]$ , se tiene que:

$$\begin{aligned} \max_{0 \leq n \leq N} \|y(x_n) - y_n\| &\leq \exp\left(\frac{L(b-a)}{1-h_0L}\right) \cdot \left[\|\bar{\eta}(h)\| + h \sum_{i=1}^N \|\tau_i\|\right] \\ &\leq \exp\left(\frac{L(b-a)}{1-h_0L}\right) \cdot \left[\|\bar{\eta}(h)\| + h(b-a) \cdot \max_{1 \leq i \leq N} \|\tau_i\|\right] \end{aligned}$$

Por tanto:

1.  $\lim_{h \rightarrow 0^+} \bar{\eta}(h) = 0 \Rightarrow \lim_{h \rightarrow 0^+} \left( \max_{0 \leq n \leq N} \|y(x_n) - y_n\| \right) = 0$
2. Si  $y \in \mathcal{C}^2([a, b])$  y  $\bar{\eta} = O(h)$ , entonces  $\max_{0 \leq n \leq N} \|y(x_n) - y_n\| = O(h)$

**Definición 2.6.0.1.** Por cumplirse 1. decimos que Euler Implícito es **convergente**. Como se cumple 2. y además en general  $\max_{0 \leq n \leq N} \|y(x_n) - y_n\| \neq O(h^p)$ ,  $p > 1$  con  $y(\cdot)$  regular, decimos que Euler Implícito es **convergente exactamente de orden 1**.

## 2.7. Estabilidad numérica

Al igual que con Euler Explícito, estudiaremos la estabilidad numérica lineal del método de Euler Implícito.

### Estabilidad numérica lineal

El citado estudio se restringe a:

- problema escalar:  $y' = \lambda y$ ,  $\lambda \in \mathbb{C}$  (ecuación de Dahlquist)
- problema vectorial:  $y' = Ay$ ,  $A \in \mathcal{M}_{m \times m}(\mathbb{R})$  diagonalizable

#### 2.7.1. Problema escalar

$$\begin{cases} y' = \lambda y & \lambda \in \mathbb{C} \\ y(a) = \eta \end{cases}$$

$y(x)$  acotada en  $[a, \infty) \Leftrightarrow \operatorname{Re} \lambda \leq 0$ . Aplicamos Euler Implícito a la ecuación de Dahlquist:

$$\frac{y_{n+1} - y_n}{h} = \lambda y_{n+1} \Rightarrow y_{n+1} = y_n + h\lambda y_{n+1}$$

Si  $h\lambda \neq 1 \Rightarrow y_{n+1} = \frac{1}{1 - h\lambda} \cdot y_n, \quad n \geq 0$

**Observación 2.7.1.1.**  $\operatorname{Re} \lambda \leq 0, \quad h > 0 \Rightarrow \operatorname{Re}(1 - h\lambda) = 1 - h\operatorname{Re} \lambda \geq 1 \Rightarrow |1 - h\lambda| \geq 1$   
 Como veremos a continuación, esto nos garantizará que todo el semiplano izquierdo está contenido en la región de estabilidad del método de Euler Implícito.

$$y_n = \left( \frac{1}{1 - h\lambda} \right)^n \cdot y_0$$

Supongamos  $y_0 \neq 0$ . Entonces

$$|y_{n+1}| = \left( \frac{1}{1 - h\lambda} \right)^n \cdot |y_0|$$

$$\{y_n\}_{n=0}^{\infty} \text{ acotada} \Leftrightarrow \left| \frac{1}{1 - h\lambda} \right| \leq 1.$$

**Observación 2.7.1.2.** Si  $\operatorname{Re} \lambda \leq 0$ , entonces  $\forall h > 0, \quad \left| \frac{1}{1 - h\lambda} \right| \leq 1, \quad \{y_n\}_{n=0}^{\infty}$  está acotada.

Puesto que  $y_{n+1} = \frac{1}{1 - h\lambda} \cdot y_n$ , no es conveniente dar la siguiente definición:

**Definición 2.7.1.3** (Función de estabilidad). *Llamamos función de estabilidad o factor de ampliación del método de Euler Implícito  $A^{EI}$  a la siguiente función:*

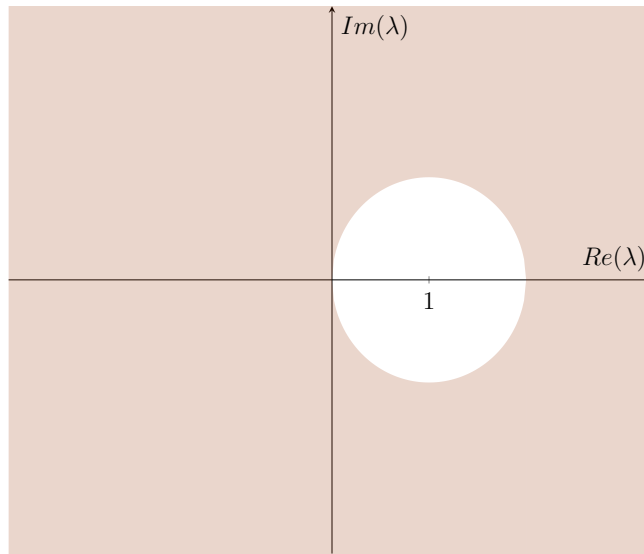
$$A^{EI}(z) = \frac{1}{1 - z}, \quad z \in \mathbb{C} \setminus \{1\}$$

Como salta a la vista,  $y_{n+1} = A^{EI}(h\lambda) \cdot y_n$

**Definición 2.7.1.4** (Región de estabilidad absoluta).

$$R^{EI} = \{z \in \mathbb{C} / |A^{EI}(z)| \leq 1\} = \{z \in \mathbb{C} / \left| \frac{1}{1 - z} \right| \leq 1\} = \{z \in \mathbb{C} / |1 - z| \geq 1\} = \mathbb{C} \setminus D(1, 1)$$

es la región donde  $\{y_n\}_{n=0}^{\infty}$  está acotada



$$\mathbb{C}^- = \{z \in \mathbb{C} / \operatorname{Re} z \leq 0\} \subset R^{EI},$$

luego el método de Euler Implícito es A-estable.

Si  $\lambda \in \mathbb{C}$ ,  $\operatorname{Re} \lambda \leq 0$ , entonces  $\forall h > 0$ ,  $\operatorname{Re}(h\lambda) \leq 0$ , luego  $h\lambda \in \mathbb{C}^- \subset R^{EI}$   
 $\Rightarrow$  Tendremos  $\{y_n\}_{n=0}^{\infty}$  acotada cualquiera sea  $h > 0$

### 2.7.2. Problema vectorial

Es exactamente igual que lo que pusimos en Euler Explícito, vayan allí si necesitan refrescarlo. La conclusión a la que llegamos después de diagonalizar y desacoplar el sistema de ecuaciones, es que hay estabilidad numérica  $\Leftrightarrow h\lambda_i \in R^{EI} \quad \forall i = 1, \dots, m$



# Capítulo 3

## Métodos de Runge-Kutta

### 3.1. Motivación

Los métodos de Euler tienen orden de convergencia 1, es decir, en general:

$$\max_{0 \leq n \leq N} \|y(x_n) - y_n\| \approx c_1 h$$

Supongamos que queremos alcanzar una precisión  $\varepsilon$  prefijada (por ejemplo,  $\varepsilon = 10^{-6}$ ). La estimación de la longitud de paso  $h$  necesaria  $h \approx h(\varepsilon)$  será:

$$c_1 h_1 = \varepsilon \Rightarrow h_1 = \frac{\varepsilon}{c_1}$$

Luego tendremos que dar  $N_1(\varepsilon) = \left\lceil \frac{b-a}{h_1(\varepsilon)} \right\rceil \approx \frac{(b-a) \cdot c_1}{\varepsilon}$  pasos.

Euler Explícito requiere una evaluación de  $f$  por paso de tiempo, luego necesitamos  $\frac{(b-a) \cdot c_1}{\varepsilon}$  evaluaciones de  $f$ . Si por ejemplo  $\varepsilon = 10^{-6} \Rightarrow N_1(10^{-6}) \approx (b-a)c_1 \cdot 10^6$ .

Sin embargo, si un método tiene orden de convergencia  $p \geq 2$ , se tendrá que:

$$\max_{0 \leq n \leq N} \|y(x_n) - y_n\| \approx c_p h^p.$$

Si pedimos una precisión  $\varepsilon$  arbitraria, necesitamos  $h \approx h_p(\varepsilon)$ , de forma que:

$$c_p \cdot (h_p(\varepsilon))^p = \varepsilon \Rightarrow h_p(\varepsilon) = \left( \frac{\varepsilon}{c_p} \right)^{1/p}$$
$$N_p(\varepsilon) = \left\lceil \frac{b-a}{h_p(\varepsilon)} \right\rceil \approx \frac{(b-a) \cdot (c_p)^{1/p}}{\varepsilon^{1/p}}$$

Supongamos que el método requiere  $s_p$  evaluaciones de  $f$  por paso. Por lo tanto, necesitamos  $s_p N_p = s_p \cdot (b-a) \cdot \frac{(c_p)^{1/p}}{\varepsilon^{1/p}}$  evaluaciones de  $f$  en total. Supongamos  $s_p = p$ .

$\varepsilon$	$p = 1$	$p = 2$	$p = 3$
	$\frac{c_1}{\varepsilon}$	$\frac{2\sqrt{c_2}}{\sqrt{\varepsilon}}$	$\frac{3\sqrt[3]{c_3}}{\sqrt[3]{\varepsilon}}$
$10^{-3}$	$c_1 \cdot 10^3$	$\sqrt{c_2} \cdot 63'2$	$\sqrt[3]{c_3} \cdot 30$
$10^{-6}$	$c_1 \cdot 10^6$	$\sqrt{c_2} \cdot 2 \cdot 10^3$	$\sqrt[3]{c_3} \cdot 3 \cdot 10^2$
$10^{-12}$	$c_1 \cdot 10^{12}$	$\sqrt{c_2} \cdot 2 \cdot 10^6$	$\sqrt[3]{c_3} \cdot 3 \cdot 10^4$

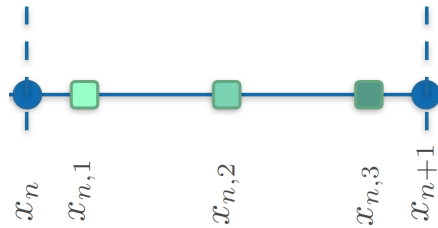
Como podemos observar, es conveniente intentar encontrar/construir métodos numéricos con un mayor orden de convergencia con el fin de reducir el número de iteraciones necesarias con el cual tener el error prefijado.

**Ejemplo 3.1.0.1.** Vamos a obtener un **método explícito de orden 2** de forma constructiva.

Supongamos en este caso que  $f$  no depende de  $y$ :

$$\left. \begin{array}{l} y' = f(x), \quad a \leq x \leq b \\ y(a) = \eta \end{array} \right\} \Rightarrow y(x) = \eta + \int_a^x f(s)ds, \quad a \leq x \leq b \quad \text{integrando (f indep de y)}$$

Problema de integración numérica (cuadratura numérica): Usaremos una fórmula de cuadratura compuesta de orden 2, en este caso, la fórmula de los trapecios compuestos:



$$y(x_n) = \eta + \int_a^{x_n} f(s)ds \approx \eta + \sum_{i=1}^n \frac{h}{2} [f(x_{i-1}) + f(x_i)] =: y_n$$

Forma incremental:

$$y_1 = \eta + \frac{h}{2} [f(x_0) + f(x_1)]$$

$$y_2 = y_1 + \frac{h}{2} [f(x_1) + f(x_2)]$$

$$y_{n+1} = y_n + \frac{h}{2} [f(x_n) + f(x_{n+1})]$$

$$\max_{0 \leq n \leq N} |y(x_n) - y_n| \leq ch^2 \quad \text{si } f \in \mathcal{C}^2([a, b])$$

**Ejemplo 3.1.0.2.** Extensión al caso en que  $f = f(x, y)$ .

$$\left\{ \begin{array}{l} y' = f(x, y), \quad a \leq x \leq b \\ y(a) = \eta \end{array} \right\} \Rightarrow y(x) = \eta + \int_a^x f(s, y(s)) ds, \quad a \leq x \leq b$$

Primer paso.

$$y(x_1) = \eta + \int_a^{x_1} f(s, y(s)) ds \approx y_0 + \frac{h}{2} [f(x_0, y_0) + f(x_1, y(x_1))] =: y_n$$

Necesitamos una aproximación explícitamente calculable de  $y(x_1)$ . En este ejemplo usamos Euler Explícito para efectuar tal aproximación, lo que nos conduce a:

$$y(x_1) \approx y_0 + \frac{h}{2} [f(x_0, y_0) + f(x_1, y_0 + hf(x_0, y_0))] =: y_1$$

Esto nos lleva a definir el siguiente método numérico:

### 3.2. Método de Heun/Euler mejorado

$$\left\{ \begin{array}{l} y_0 = \eta + \bar{\eta} \\ y_{n+1} = y_n + \frac{h}{2} \left[ f(x_n, y_n) + f(x_{n+1}, y_n + hf(x_n, y_n)) \right], \quad n = 0, \dots, N-1 \end{array} \right.$$

Reescribimos el método usando las notaciones siguientes

$$\begin{aligned} x_{n1} &= x_n & y_{n1} &= y_n \\ x_{n2} &= x_n + h & y_{n2} &= y_n + hf(x_{n1}, y_{n1}) \\ y_{n+1} &= y_n + h \left[ \frac{1}{2} f(x_{n1}, y_{n1}) + \frac{1}{2} f(x_{n2}, y_{n2}) \right] \end{aligned}$$

### 3.3. Descripción general de los métodos Runge-Kutta

Considerando ahora el método de orden  $s$  dado por el tablero de Butcher:

$$\begin{array}{c|c} c & A \\ \hline & b^t \end{array} \quad c, b \in \mathbb{R}^s, \quad A \in \mathcal{M}_{s \times s}(\mathbb{R})$$

$$\left\{ \begin{array}{l} x_{ni} = x_n + c_i h \quad i = 1, \dots, s \\ y_{ni} = y_n + h \sum_{j=1}^s a_{ij} f(x_{nj}, y_{nj}), \quad i = 1, \dots, s \\ y_{n+1} = y_n + h \sum_{i=1}^s b_i f(x_{ni}, y_{ni}) \end{array} \right. \quad \begin{array}{l} \text{(RK1)} \\ \text{(RK2)} \end{array}$$

**Proposición 3.3.0.1.** *Las ecuaciones (RK1) - (RK2) son equivalentes a:*

$$\left\{ \begin{array}{l} x_{ni} = x_n + c_i h, \quad i = 1, \dots, s \\ k_{ni} = f(x_{ni}, y_n + h \sum_{j=1}^s a_{ij} k_{nj}), \quad i = 1, \dots, s \\ y_{n+1} = y_n + h \sum_{i=1}^s b_i k_{ni} \end{array} \right. \quad \begin{array}{l} \text{(RK3)} \\ \text{(RK4)} \end{array}$$

*Demostración.*

"  $\Rightarrow$  " Supongamos que  $y_{ni}$ ,  $i = 1, \dots, s$  es solución de (RK1). Introducimos

$$k_{ni} = f(x_{ni}, y_{ni}) \quad \text{(RK5)}$$

Usando (RK5) en (RK1)

$$y_{ni} = y_n + h \sum_{j=1}^s a_{ij} k_{nj} \quad \text{(RK6)}$$

Por tanto:

$$\begin{aligned} k_{ni} &\stackrel{\text{(RK5)}}{=} f(x_{ni}, y_{ni}) \stackrel{\text{(RK6)}}{=} f(x_{ni}, y_n + h \sum_{j=1}^s a_{ij} k_{nj}) \quad i = 1, \dots, s \quad \text{que es (RK3).} \\ y_{n+1} &\stackrel{\text{(RK2)}}{=} y_n + h \sum_{i=1}^s b_i f(x_{ni}, y_{ni}) \stackrel{\text{(RK5)}}{=} y_n + h \sum_{i=1}^s b_i k_{ni} \quad \text{que es (RK4).} \end{aligned}$$

"  $\Leftarrow$  " Supongamos que  $k_{ni}$ ,  $i = 1, \dots, s$  es solución de (RK3) y que  $y_{n+1}$  está dado por (RK4). Análogo  $\square$

Aunque la notación con los  $k_{ni}$  pueda parecer un poco liosa e innecesaria al empezar a trabajar con los métodos Runge-Kutta, es esencial para la parte de programación dado que ahorra evaluaciones de  $f$ . Sin embargo, si nos sabemos la notación en los  $y_{ni}$  y recordamos que  $k_{ni} = f(x_{ni}, y_{ni})$  nos resultará inmediato pasar de una a otra.



### 3.4. Métodos Runge-Kutta explícitos (ERK)

Si la matriz  $A$  es estrictamente triangular inferior; es decir, triangular inferior y la diagonal todo ceros, o lo que es lo mismo,  $a_{ij} = 0$  si  $j \leq i$ . Entonces:

$$\left| \begin{array}{l} y_{n1} = y_n \\ y_{ni} = y_n + h \sum_{j=1}^{i-1} a_{ij} f(x_{nj}, \overbrace{y_{nj}}^{\text{ya calculados}}) \quad i = 1, \dots, s \\ y_{n+1} = y_n + h \sum_{i=1}^s b_i f(x_{ni}, y_{ni}) \end{array} \right.$$

$$\left| \begin{array}{l} k_{n1} = f(x_{n1}, y_n) \\ k_{ni} = f(x_{ni}, y_n + h \sum_{j=1}^{i-1} a_{ij} \overbrace{k_{nj}}^{\text{ya calculados}}), \quad i = 1, \dots, s \\ y_{n+1} = y_n + h \sum_{i=1}^s b_i k_{ni} \end{array} \right.$$

#### 3.4.1. Euler Explícito

Podemos entender el método de Euler Explícito como un caso particular de un método Runge-Kutta explícito. En efecto, tomando  $s = 1$  y el siguiente tablero de Butcher:

$$\begin{array}{c|c} 0 & 0 \\ \hline & 1 \end{array}$$

1. Formulación con los  $y_{ni}$ :

$$\left| \begin{array}{l} x_{n1} = x_n + 0 \cdot h = x_n \\ y_{n1} = y_n + h \cdot 0 \cdot f(x_{n1}, y_{n1}) = y_n \\ y_{n+1} = y_n + h \cdot 1 \cdot f(x_{n1}, y_{n1}) \end{array} \right.$$

2. Formulación con los  $k_{ni}$ :

$$\left| \begin{array}{l} x_{n1} = x_n + 0 \cdot h = x_n \\ k_{n1} = f(x_{n1}, y_n + h \cdot 0 \cdot k_{n1}) = f(x_{n1}, y_n) \\ y_{n+1} = y_n + h \cdot 1 \cdot k_{n1} \end{array} \right.$$

### 3.5. Métodos Runge-Kutta implícitos (IRK)

Cuando  $A$  no es estrictamente triangular inferior, el método será implícito: Conocido  $y_n$ , las ecuaciones (RK1) (alternativamente (RK3)) forman un sistema de  $m$ s ecuaciones y  $m$ s incógnitas escalares que son:

- Las componentes de  $y_{ni}$ ,  $i = 1, \dots, s$  para (RK1).
- las componentes de  $k_{ni}$ ,  $i = 1, \dots, s$  para (RK3).

**Teorema 3.5.0.1.** *Supongamos que  $f$  satisface las hipótesis (Hf) con constante de Lipschitz  $L$ . Si  $hL\|A\|_\infty < 1$ , entonces el sistema (RK1) tiene solución única. Además, el método de iteración funcional converge globalmente a la solución:*

$$\begin{pmatrix} y_{n1}^{[\nu+1]} \\ \vdots \\ y_{ns}^{[\nu+1]} \end{pmatrix} = \begin{pmatrix} y_n \\ \vdots \\ y_n \end{pmatrix} + h \begin{pmatrix} \sum_{j=1}^s a_{1j} f(x_{nj}, y_{nj}^{[\nu]}) \\ \vdots \\ \sum_{j=1}^s a_{sj} f(x_{nj}, y_{nj}^{[\nu]}) \end{pmatrix}, \text{ siendo } \begin{pmatrix} y_n \\ \vdots \\ y_n \end{pmatrix} \text{ el vector } y_n$$

#### 3.5.1. Euler Implícito

Al igual que con el método de Euler Explícito, podemos entender el método de Euler Implícito como un caso particular de un método Runge-Kutta implícito. En efecto, tomando  $s = 1$  y el siguiente tablero de Butcher:

$$\begin{array}{c|c} 1 & 1 \\ \hline & 1 \end{array}$$

1. Formulación con los  $y_{ni}$ :

$$\begin{cases} x_{n1} = x_n + 1 \cdot h = x_{n+1} \\ y_{n1} = y_n + h \cdot 1 \cdot f(x_{n1}, y_{n1}) \\ y_{n+1} = y_n + h \cdot f(x_{n1}, y_{n1}) = y_n + hf(x_{n+1}, y_{n+1}) \end{cases}$$

2. Formulación con los  $k_{ni}$ :

$$\begin{cases} x_{n1} = x_n + 1 \cdot h = x_{n+1} \\ k_{n1} = f(x_{n1}, y_n + h \cdot 1 \cdot k_{n1}) = f(x_{n+1}, y_{n+1}) \\ y_{n+1} = y_n + h \cdot 1 \cdot k_{n1} = y_n + hf(x_{n+1}, y_{n+1}) \end{cases}$$

### 3.6. Métodos semiimplícitos (DIRK)

Son aquellos en los que  $A$  es triangular inferior (es decir,  $i < j \Rightarrow a_{ij} = 0$ ). Ahora bien, la diagonal puede ser distinta de cero. En este caso, la resolución de (RK1) (alternativamente (RK3)) se reduce a resolver sucesivamente  $s$  sistemas de ecuaciones con  $m$  incógnitas. En efecto, para (RK1):

$$\begin{cases} y_{n1} = y_n + ha_{11}f(x_{n1}, y_{n1}) \\ y_{ni} = y_n + h \sum_{j=1}^{i-1} a_{ij}f(x_{nj}, y_{nj}) + a_{ii}f(x_{ni}, y_{ni}), \quad i = 2, \dots, s \end{cases} \quad (\text{RK7})$$

**Observación 3.6.0.1.** Podemos no particularizar  $y_{n1}$  si consideramos  $\sum_{j=1}^0 = 0$ .

### 3.7. Más ejemplos de métodos RK

Esta sección está directamente extraída de las transparencias vistas en clase y que están disponibles en el campus virtual a modo de completitud. En estas también se habla del  $\theta$ -método y sin embargo en este tema no lo vamos a tratar. Eso es porque este método pertenece a la familia de los métodos lineales multipaso y nos interesará más verlo con ese enfoque.

**Ejemplo 3.7.0.1** (RK uniparamétrico de una etapa). Consideremos el método de orden 1 dado por el tablero de Butcher:

$$\begin{array}{c|c} \theta & \theta \\ \hline & 1 \end{array} \quad \theta \in \mathbb{R}$$

1. Formulación con los  $y_{ni}$ :

$$\begin{cases} x_{n1} = x_n + h\theta \\ y_{n1} = y_n + h\theta f(x_{n1}, y_{n1}) \\ y_{n+1} = y_n + hf(x_{n1}, y_{n1}) \end{cases}$$

2. Formulación con los  $k_{ni}$ :

$$\begin{cases} x_{n1} = x_n + h\theta \\ k_{n1} = f(x_{n1}, y_n + h\theta k_{n1}) \\ y_{n+1} = y_n + hk_{n1} \end{cases}$$

**Ejemplo 3.7.0.2** (RK uniparamétrico de dos etapas). Consideremos el método de orden 2 dado por el tablero de Butcher:

$$\begin{array}{c|cc} 0 & 0 & 0 \\ \alpha & \alpha & 0 \\ \hline & 1 - \frac{1}{2\alpha} & \frac{1}{2\alpha} \end{array} \quad \alpha \in \mathbb{R}$$

1. Formulación con los  $y_{ni}$ :

$$\left| \begin{array}{l} x_{n1} = x_n \\ x_{n2} = x_n + h\alpha \\ \\ y_{n1} = y_n \\ y_{n2} = y_n + h\alpha f(x_{n1}, y_{n1}) \\ \\ y_{n+1} = y_n + h(1 - \frac{1}{2\alpha})f(x_{n1}, y_{n1}) + h\frac{1}{2\alpha}f(x_{n2}, y_{n2}) \end{array} \right.$$

2. Formulación con los  $k_{ni}$ :

$$\left| \begin{array}{l} x_{n1} = x_n \\ x_{n2} = x_n + h\alpha \\ \\ k_{n1} = f(x_{n1}, y_{n1}) \\ k_{n2} = f(x_{n2}, y_n + h\alpha k_{n1}) \\ \\ y_{n+1} = y_n + h(1 - \frac{1}{2\alpha})k_{n1} + h\frac{1}{2\alpha}k_{n2} \end{array} \right.$$

**Observación 3.7.0.3.**

- $\alpha = 1 \Rightarrow$  método de Heun.
- $\alpha = \frac{1}{2} \Rightarrow$  método de Euler modificado.

**Ejemplo 3.7.0.4** (Runge-Kutta clásico de orden 4). Consideremos el método de orden 4 dado por el tablero de Butcher:

$$\begin{array}{c|cccc} 0 & 0 & 0 & 0 & 0 \\ \frac{1}{2} & \frac{1}{2} & 0 & 0 & 0 \\ \frac{1}{2} & 0 & \frac{1}{2} & 0 & 0 \\ 1 & 0 & 0 & 1 & 0 \\ \hline & \frac{1}{6} & \frac{2}{6} & \frac{2}{6} & \frac{1}{6} \end{array}$$

1. Formulación con los  $y_{ni}$ :

$$\begin{array}{l}
 x_{n1} = x_n \\
 x_{n2} = x_n + h\frac{1}{2} \\
 x_{n3} = x_n + h\frac{1}{2} \\
 x_{n4} = x_n + h \\
 \\
 y_{n1} = y_n \\
 y_{n2} = y_n + h\frac{1}{2}f(x_{n1}, y_{n1}) \\
 y_{n3} = y_n + h\frac{1}{2}f(x_{n2}, y_{n2}) \\
 y_{n4} = y_n + hf(x_{n3}, y_{n3}) \\
 \\
 y_{n+1} = y_n + h\frac{1}{6}f(x_{n1}, y_{n1}) + h\frac{2}{6}f(x_{n2}, y_{n2}) + h\frac{2}{6}f(x_{n3}, y_{n3}) + h\frac{1}{6}f(x_{n4}, y_{n4})
 \end{array}$$

2. Formulación con los  $k_{ni}$ :

$$\begin{array}{l}
 x_{n1} = x_n \\
 x_{n2} = x_n + h\frac{1}{2} \\
 x_{n3} = x_n + h\frac{1}{2} \\
 x_{n4} = x_n + h \\
 \\
 k_{n1} = f(x_{n1}, y_{n1}) \\
 k_{n2} = f(x_{n2}, y_n + h\frac{1}{2}\alpha k_{n1}) \\
 k_{n3} = f(x_{n3}, y_n + h\frac{1}{2}\alpha k_{n2}) \\
 k_{n4} = f(x_{n3}, y_n + h\alpha k_{n3}) \\
 \\
 y_{n+1} = y_n + h\frac{1}{6}k_{n1} + h\frac{2}{6}k_{n2} + h\frac{2}{6}k_{n3} + h\frac{1}{6}k_{n4}
 \end{array}$$

**Ejemplo 3.7.0.5** (Métodos Runge-Kutta Gauss-Legendre). Estos son métodos basados en las fórmulas de cuadratura de Gauss-Legendre. Permiten obtener un orden  $2s$  con  $s$  etapas. Son métodos implícitos.

### 3.8. Notación $\Phi_f$

**Definición 3.8.0.1.** Los métodos Runge-Kutta se pueden escribir en la siguiente forma:

$$y_{n+1} = y_n + h\Phi_f(x_n, y_n; h) \tag{RK8}$$

donde  $\Phi_f : [a, b] \times \mathbb{R}^m \times [0, h_0] \longrightarrow \mathbb{R}^m$ , donde  $h_0 > 0$  es un número suficientemente pequeño.  $\Phi_f$  se conoce como la función incremento, que depende de  $f$ .

**Observación 3.8.0.2.**

- $\Phi_f$  es explícita para los ERK
- $\Phi_f$  no es explícita para los IRK

**Ejemplo 3.8.0.3.**

1. Euler explícito:

$$y_{n+1} = y_n + hf(x_n, y_n)$$

$$\Phi_f(x, y; h) = f(x, y) \quad \text{independiente de } h$$

2. Método de Heun:

$$y_{n+1} = y_n + h \underbrace{\left[ \frac{1}{2}f(x_n, y_n) + \frac{1}{2}f(x_n + h, y_n + f(x_n, y_n)) \right]}_{\Phi_f(x_n, y_n; h)}$$

$$\Phi_f(x, y; h) = \frac{1}{2}f(x, y) + \frac{1}{2}f(x + h, y + hf(x, y))$$

**Definición 3.8.0.4** (Definición de  $\Phi_f$  en el caso general).

$$\Phi_f(x, y; h) = \sum_{i=1}^s b_i f(x + c_i h, Y_i)$$

donde  $Y_i \in \mathbb{R}^m$ ,  $i = 1, \dots, s$  es la solución del sistema siguiente

$$Y_i = y + h \sum_{j=1}^s a_{ij} f(x + c_j h, Y_j)$$

Este sistema tiene solución única cuando  $hL\|A\|_\infty < 1$ , ya que es análogo al sistema (RK1)

**Observación 3.8.0.5.** Si  $x = x_n$ ,  $y = y_n$  entonces  $Y_i = y_{ni}$ ,  $i = 1, \dots, s$  y por tanto:

$$\Phi_f(x_n, y_n; h) = \sum_{i=1}^s b_i f(x_{ni}, y_{ni})$$

### 3.9. Consistencia y orden de consistencia

$$(RK8) \Leftrightarrow \frac{y_{n+1} - y_n}{h} - \Phi_f(x_n, y_n; h) = 0$$

De la misma manera que llevamos haciendo en los 2 temas anteriores, es conveniente realizar la siguiente definición:

**Definición 3.9.0.1.** Para  $n = 0, 1, \dots, N-1$  y  $h > 0$  suficientemente pequeño, se definen los vectores  $\tau_{n+1}$  de la forma:

$$\tau_{n+1} = \frac{y(x_{n+1}) - y(x_n)}{h} - \Phi_f(x_n, y(x_n); h) \quad (RK9)$$

donde  $y = y(x)$  es una solución exacta de la EDO  $y' = f(x, y)$

**Definición 3.9.0.2.** Se dice que el método (RK8) es consistente con la EDO  $y' = f(x, y)$  si para toda solución exacta  $y = y(x)$  de dicha EDO se tiene que:

$$\lim_{h \rightarrow 0^+} \max_{1 \leq n \leq N} \|\tau_n\| = 0$$

**Definición 3.9.0.3.** Sea  $p \in \mathbb{Z}$ ,  $p \geq 1$ . Se dice que el método (RK8) tiene orden  $p$  de consistencia (o que es consistente de orden  $p$ ) si  $p$  es el mayor entero tal que

$$\max_{1 \leq n \leq N} \|\tau_n\| = O(h^p)$$

**Observación 3.9.0.4.** Si para todo  $f$  suficientemente regular,  $\max_{0 \leq n \leq N} \|\tau_n\| = O(h^p)$ , se dice que el método es consistente al menos de orden  $p$

**Definición 3.9.0.5.**

$$T_{n+1} := h\tau_{n+1} = y(x_{n+1}) - \underbrace{\left[ y(x_n) + h\Phi_f(x_n, y_n; h) \right]}_{\tilde{y}_{n+1}}$$

$\tilde{y}_{n+1}$  es el resultado de dar un paso del método RK a partir de  $(x_n, y(x_n))$

**Ejercicio 3.9.0.6.** Obtener las condiciones necesarias y suficientes para que un método RK explícito de dos etapas con  $c_1 = 0$  tenga al menos orden 2 de consistencia para EDOs escalares

$$\begin{array}{c|cc} 0 & 0 & 0 \\ c_2 & a_{21} & 0 \\ \hline & b_1 & b_2 \end{array}$$

$$x_{n1} = x_n$$

$$x_{n2} = x_n + c_2 h$$

$$k_{n1} = f(x_n, y_n)$$

$$k_{n2} = f(x_n + c_2 h, y_n + h a_{21} k_{n1})$$

$$y_{n+1} = y_n + h(b_1 + k_{n1} + b_2 k_{n2})$$

Buscamos una condición necesaria y suficiente para que  $\|\tau_{n+1}\| = O(h^2) \Leftrightarrow T_{n+1} = O(h^3)$

$$T_{n+1} = y(x_{n+1}) - \tilde{y}_{n+1}$$

Tenemos que explicitar el desarrollo de Taylor hasta el término  $h^2$  incluido  
1 página de cuentas muy ricas que quedan como ejercicio para el lector

$$T_{n+1} = O(h^3) \Leftrightarrow \left\{ \begin{array}{l} b_1 + b_2 = 1 \\ b_2 c_2 = \frac{1}{2} \\ b_2 a_{21} = \frac{1}{2} \end{array} \right. \Leftrightarrow \left\{ \begin{array}{l} \alpha := a_{21} \neq 0 \\ b_2 = \frac{1}{2\alpha} \\ c_2 = \alpha \\ b_1 = 1 - \frac{1}{2\alpha} \end{array} \right.$$

Estamos entonces ante el método uniparamétrico en función de  $\alpha$

$$\begin{array}{c|cc} 0 & 0 & 0 \\ \alpha & \alpha & 0 \\ \hline & 1 - 1/2\alpha & 1/2\alpha \end{array}$$



### 3.9.1. Orden de consistencia de los métodos RK

Para estudiar el orden de consistencia de los métodos Runge-Kutta nos será de utilidad introducir la siguiente notación:

$$\blacksquare \mathcal{C} = \text{diag}(c) = \begin{pmatrix} c_1 & & \\ & \ddots & \\ & & c_s \end{pmatrix}$$

$$\blacksquare e = (1, \dots, 1)^t \in \mathbb{R}^s$$

**Proposición 3.9.1.1.** *Un método RK es **al menos de orden 1**  $\Leftrightarrow \forall f \in \mathcal{C}^1([a, b] \times \mathbb{R}^m; \mathbb{R}^m)$  se tiene que:*

$$1. \ b^t e = 1 \Leftrightarrow \sum_{i=1}^s b_i = 1$$

Además, esta condición equivale a la consistencia del método.

**Proposición 3.9.1.2.** *Un método RK es **al menos de orden 2**  $\Leftrightarrow$  es al menos de orden 1 y además cumple:*

$$1. \ b^t \mathcal{C} e = \frac{1}{2} \Leftrightarrow \sum_{i=1}^s b_i c_i = \frac{1}{2}$$

$$2. \ b^t \mathcal{A} e = \frac{1}{2} \Leftrightarrow \sum_{i=1}^s \sum_{j=1}^s b_i a_{ij} = \frac{1}{2}$$

**Observación 3.9.1.3.** Con frecuencia consideraremos métodos de Runge-Kutta tales que

$$\sum_{j=1}^s a_{ij} = c_i,$$

propiedad a la que nos referiremos como condición de suma por filas. Esta condición se puede expresar como  $\mathcal{A}e = c$ . Por tanto, las 2 últimas condiciones de la anterior proposición se reducen a comprobar que  $b^t \mathcal{C} e = \frac{1}{2}$ .

Por lo tanto, podemos reenunciar la anterior proposición de la siguiente forma:

**Proposición 3.9.1.4.** *Un método Runge-Kutta que cumpla  $\mathcal{A}e = c$  es **al menos de orden 2** si y sólo si es al menos de orden 1 y además cumple:*

$$b^t \mathcal{C} e = \frac{1}{2}$$

Las condiciones de orden  $p > 2$  son cada vez más complicadas. Por ello, para las condiciones de orden 3 y 4, consideraremos métodos Runge-Kutta que cumplan la condición de suma por filas.

**Proposición 3.9.1.5.** *Consideremos un método RK tal que  $\mathcal{A}e = c$ . El método es al menos de orden 3 si y sólo si es al menos de orden 2 y además:*

$$1. \ b^t \mathcal{C}^2 e = \frac{1}{3} \Leftrightarrow \sum_{i=1}^s b_i c_i^2 = \frac{1}{3}$$

$$2. \ b^t \mathcal{A} \mathcal{C} e = \frac{1}{6} \Leftrightarrow \sum_{i=1}^s \sum_{j=1}^s b_i a_{ij} c_j = \frac{1}{6}$$

**Proposición 3.9.1.6.** *Consideremos un método RK tal que  $\mathcal{A}e = c$ . El método es al menos de orden 4 si y sólo si es al menos de orden 3 y además:*

$$1. \ b^t \mathcal{C}^3 e = \frac{1}{4} \qquad 3. \ b^t \mathcal{C} \mathcal{A} \mathcal{C} e = \frac{1}{8}$$

$$2. \ b^t \mathcal{A} \mathcal{C}^2 e = \frac{1}{12} \qquad 4. \ b^t \mathcal{A}^2 \mathcal{C} e = \frac{1}{24}$$

**Observación 3.9.1.7.** Si el método RK tiene orden  $p$  de consistencia y  $f \in \mathcal{C}^s$ ,  $s < p$ , entonces  $\|\tau_n\| = O(h^s)$

**Ejercicio 3.9.1.8.** Comprobar que el método con la siguiente tabla de Butcher tiene exactamente orden 2 de consistencia

$$\begin{array}{c|cc} 0 & 0 & 0 \\ \alpha & \alpha & 0 \\ \hline & 1 - \frac{1}{2\alpha} & \frac{1}{2\alpha} \end{array} \quad \alpha \neq 0$$

La demostración es trivial y se deja como ejercicio para el lector.

### 3.10. Estabilidad

$$\begin{aligned}
y_{n+1} &= y_n + h\Phi_f(x_n, y_n; h) \\
\frac{y_{n+1} - y_n}{h} - \Phi_f(x_n, y_n; h) &= 0 \\
\tau_{n+1} &= \frac{y(x_{n+1}) - y(x_n)}{h} - \Phi_f(x_n, y(x_n); h)
\end{aligned}$$

Dadas las perturbaciones  $(\delta_0, \delta_1, \dots, \delta_N)$ ,  $(\delta_0^*, \delta_1^*, \dots, \delta_N^*) \in (\mathbb{R}^m)^{N+1}$ , introducimos, para  $h > 0$  suficientemente pequeño, los esquemas perturbados siguientes:

$$\begin{cases} \frac{z_{n+1} - z_n}{h} = \Phi_f(x_n, z_n; h) + \delta_{n+1} & n = 0, 1, \dots, N-1 \\ z_0 = y_0 + \delta_0 = \eta + \bar{\eta} + \delta_0 \end{cases}$$

$$\begin{cases} \frac{z_{n+1}^* - z_n^*}{h} = \Phi_f(x_n, z_n^*; h) + \delta_{n+1}^* & n = 0, 1, \dots, N-1 \\ z_0^* = y_0 + \delta_0^* = \eta + \bar{\eta} + \delta_0^* \end{cases}$$

que para  $h$  suficientemente pequeño, definen las soluciones  $(z_0, z_1, \dots, z_N)$ ,  $(z_0^*, z_1^*, \dots, z_N^*) \in (\mathbb{R}^m)^{N+1}$

**Proposición 3.10.0.1** (Estabilidad). *Supongamos que  $f$  verifica (Hf). Entonces existen  $h_0 > 0$  y una constante  $M \geq 0$  independiente de  $h$  tales que para todo  $h \in (0, h_0]$  se tiene la acotación*

$$\max_{0 \leq n \leq N} \|z_n - z_n^*\| \leq M \left[ \|\delta_0 - \delta_0^*\| + h \sum_{i=1}^N \|\delta_i - \delta_i^*\| \right] \quad (\text{RK12})$$

Por tanto, todos los métodos RK son estables

Idea de la demostración:

1. Partimos de las condiciones (Hf)
2. Acotaciones análogas a la demostración realizada para Euler Explícito.

### 3.11. Convergencia

La sucesión finita  $\{y(x_n)\}_{n=0}^N$  cumple:

$$\begin{cases} \frac{y(x_{n+1}) - y(x_n)}{h} = \Phi_f(x_n, y(x_n); h) + \tau_{n+1} & n = 0, 1, \dots, N-1 \\ \parallel \\ \delta_{n+1} \\ y(x_0) = \eta + \bar{\eta} + (-\bar{\eta}) \\ \parallel \\ \delta_0 \end{cases}$$

La sucesión finita  $\{y_n\}_{n=0}^N$  cumple:

$$\begin{cases} \frac{y_{n+1} - y_n}{h} = \Phi_f(x_n, y_n; h) + \begin{matrix} 0 \\ \parallel \\ \delta_{n+1}^* \end{matrix} & n = 0, 1, \dots, N-1 \\ y_0 = \eta + \bar{\eta} + \begin{matrix} 0 \\ \parallel \\ \delta_0^* \end{matrix} \end{cases}$$

En virtud de la estabilidad, para todo  $h \in (0, h_0]$  tenemos la acotación:

$$\begin{aligned} \max_{0 \leq n \leq N} \|y(x_n) - y_n\| &\leq M \left[ \|\bar{\eta}(h)\| + h \sum_{i=1}^N \|\tau_i\| \right] \\ \max_{0 \leq n \leq N} \|y(x_n) - y_n\| &\leq M \left[ \|\bar{\eta}(h)\| + (b-a) \cdot \overbrace{\max_{1 \leq i \leq N} \|\tau_i\|}^{O(h^p)} \right] \end{aligned}$$

Si RK es consistente, tenemos que

$$\lim_{h \rightarrow 0^+} (\max_{1 \leq n \leq N} \|\tau_i\|) = 0$$

y por tanto

$$\lim_{h \rightarrow 0^+} \bar{\eta}(h) = 0 \Rightarrow \lim_{h \rightarrow 0^+} (\max_{1 \leq n \leq N} \|y(x_n) - y_n\|) = 0$$

Por cumplirse (RK12), todos los métodos RK son estables. En consecuencia, todo método RK consistente es convergente.

Por otra parte, cuando  $\max_{1 \leq n \leq N} \|\tau_n\| = O(h^p)$  y  $\|\bar{\eta}(h)\| = O(h^p)$  (en particular cuando vale 0), el método convergerá con orden  $p$ , es decir,

$$\max_{0 \leq n \leq N} \|y(x_n) - y_n\| = O(h^p)$$

### 3.12. Estabilidad numérica lineal

Supongamos  $B \in \mathcal{M}_{m \times m}(\mathbb{R})$  diagonalizable, es decir,  $\exists P \in \mathcal{M}_{m \times m}(\mathbb{C})$  no singular, y  $\exists \Lambda \in \mathcal{M}_{m \times m}(\mathbb{C})$  matriz diagonal tal que  $P^{-1}BP = \Lambda$ . Al igual que con los métodos Euler Explícito e Implícito, podemos hacer el diagrama conmutativo siguiente:

$$\begin{array}{ccccc}
 \left\{ \begin{array}{l} y' = By \\ y(a) = \eta \end{array} \right. & \xrightarrow[\substack{\text{diagonalizar} \\ z = P^{-1}y}}{\substack{\text{diagonalizar} \\ z = P^{-1}y}} & \left\{ \begin{array}{l} z' = \Lambda z \\ z(a) = P^{-1}\eta \end{array} \right. & \xrightarrow{\text{desacoplar}} & \left\{ \begin{array}{l} l \frac{d^i z}{dx} = \lambda_i^i z \\ {}^i z(a) = {}^i [P^{-1}\eta] \end{array} \right. \\
 \downarrow \text{RK} & & \downarrow \text{RK} & & \downarrow \text{RK} \\
 \left\{ \begin{array}{l} \text{Esquema} \\ \text{del método} \end{array} \right. & \xrightarrow[\substack{\text{diagonalizar} \\ z = P^{-1}y}}{\substack{\text{diagonalizar} \\ z = P^{-1}y}} & \left\{ \begin{array}{l} \text{Esquema del} \\ \text{método en } z \end{array} \right. & \xrightarrow{\text{desacoplar}} & \left\{ \begin{array}{l} \text{Esquema del} \\ \text{método en } {}^i z \end{array} \right.
 \end{array}$$

Un método RK aplicado a  $y' = By$  es numéricamente estable si y sólo si lo es al aplicarlo a todas las EDOs escalares  $y' = \lambda_i$ ,  $i = 1, \dots, s$

Consideremos la ecuación de Dahlquist:

$$\left\{ \begin{array}{l} y' = \lambda y, \quad \lambda \in \mathbb{C} \\ y(a) = \eta, \quad \eta \in \mathbb{C} \end{array} \right.$$

Supongamos  $\eta \neq 0$ .  $Re\lambda \leq 0 \Leftrightarrow y(\cdot)$  acotada en  $[a, +\infty)$ .

**Ejemplo 3.12.0.1** (Método de Heun).

$$\begin{array}{c|cc}
 0 & 0 & 0 \\
 1 & 1 & 0 \\
 \hline
 & 1/2 & 1/2
 \end{array}$$

$$x_{n1} = x_n$$

$$x_{n2} = x_n + h$$

$$y_{n1} = y_n$$

$$y_{n2} = y_n + hf(x_{n1}, y_{n1})$$

$$y_{n+1} = y_n + h \left[ \frac{1}{2} f(x_{n1}, y_{n1}) + \frac{1}{2} f(x_{n2}, y_{n2}) \right]$$

Aplicando el método a la ecuación  $y' = \lambda y$ ,  $\lambda \in \mathbb{C}$  (es decir,  $f(x, y) = \lambda y$ ):

$$y_{n1} = y_n$$

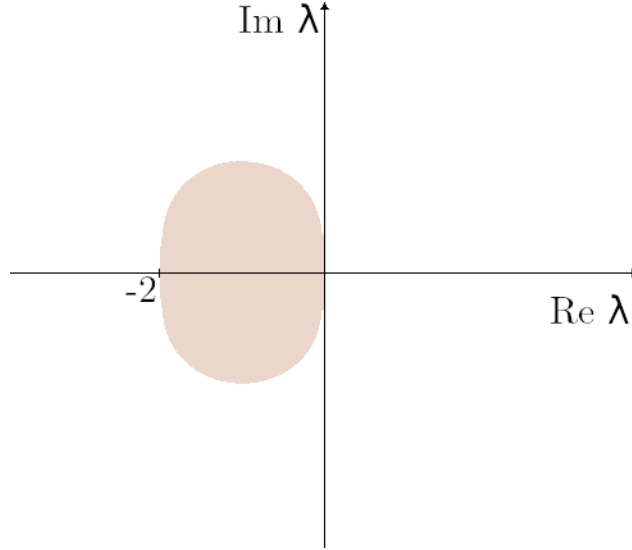
$$y_{n2} = y_n + h\lambda y_{n1} = y_n + h\lambda y_n = (1 + h\lambda)y_n$$

$$y_{n+1} = y_n + h \left[ \frac{1}{2} \lambda y_{n1} + \frac{1}{2} \lambda y_{n2} \right] = y_n + \frac{h\lambda}{2} y_n (2 + h\lambda) = y_n \left[ 1 + h\lambda + \frac{1}{2} (h\lambda)^2 \right] = A(h\lambda) \cdot y_n$$

donde  $A(z) = 1 + z + \frac{z^2}{2}$  es la función de estabilidad del método de Heun

$$y_n = (A(h\lambda))^n \cdot y_0 \quad \text{Supongamos } y_0 \neq 0 \quad \{y_n\}_{n=0}^{\infty} \text{ acotado} \Leftrightarrow |A(h\lambda)| \leq 1$$

$$R = \{z \in \mathbb{C} / |A(z)| \leq 1\} = \{z \in \mathbb{C} / |1 + z + \frac{z^2}{2}| \leq 1\}$$



$\lim_{|z| \rightarrow +\infty} |A(z)| = +\infty \Rightarrow R$  es un subconjunto acotado de  $\mathbb{C}$

$\mathbb{C}^- = \{z \in \mathbb{C} / \operatorname{Re} z \leq 0\} \not\subset R \Rightarrow$  el método de Heun no es A-estable

**Definición 3.12.0.2 (Intervalo de estabilidad absoluta).**  $I = R \cap \mathbb{R}$ . Cuando todos los autovalores son reales, nos basta estudiar este intervalo real en lugar de toda la región

Para Heun:  $I = \{x \in \mathbb{R} / |1 + x + \frac{x^2}{2}| \leq 1\} = [-2, 0]$

*Demostración.* En efecto, si bien la gráfica de la región de estabilidad ya nos permite afirmar esto, veamos como llegar algebraicamente al resultado:

$$\left. \begin{aligned} 1 + x + \frac{x^2}{2} = 1 &\Rightarrow 2x + x^2 = 0 \Rightarrow x = 0 \text{ ó } x = -2 \\ |A(-1)| = \frac{1}{2} &< 1 \end{aligned} \right\} \Rightarrow I = [-2, 0]$$

□

**Ejemplo 3.12.0.3** (Lobatto III B).

$$\begin{aligned}x_{n1} &= x_n \\x_{n2} &= x_n + h\end{aligned}$$

$$\begin{array}{c|cc}0 & 1/2 & 0 \\1 & 1/2 & 0 \\ \hline & 1/2 & 1/2\end{array}$$

$$\begin{aligned}y_{n1} &= y_n + \frac{h}{2}f(x_{n1}, y_{n1}) \\y_{n2} &= y_n + \frac{h}{2}f(x_{n1}, y_{n1})\end{aligned}$$

$$y_{n+1} = y_n + h \left[ \frac{1}{2}f(x_{n1}, y_{n1}) + \frac{1}{2}f(x_{n2}, y_{n2}) \right]$$

Aplicamos el método a  $y' = \lambda y$ ,  $\lambda \in \mathbb{C}$ :

$$y_{n+1} = y_n + \frac{h}{2}\lambda y_{n+1} \Rightarrow$$

**Ejercicio 3.12.0.4.** Demostrar que el método Lobatto IIIB es A-estable

### 3.12.1. Máximo orden alcanzable por los Runge-Kutta explícitos

El máximo orden alcanzables por los métodos ERK de  $s$  etapas con  $1 \leq s \leq 4$  es  $s$ . Para  $s \geq 5$ , no existen ERK de orden  $s$  (Esto explica el interés del ERK de 4 etapas). Se tiene la siguiente tabla:

Orden (p)	1	2	3	4	5	6	8	9	10
Número mínimo de etapas de un ERK (s)	1	2	3	4	6	7	11	$12 \leq s \leq 17$	$13 \leq s \leq 17$

Para obtener un orden mayor que el número de etapas ( $p \geq s$ ), es necesario usar métodos implícitos. En este caso el máximo alcanzable es  $p = 2s$ . Esto se consigue con los métodos Runge-Kutta-Gauss-Legendre (RKGL)

$$\begin{array}{c|c}1/2 & 1/2 \\ \hline & 1\end{array} \text{ RKGL de 1 etapa}$$

**Observación 3.12.1.1.** Todos los métodos **Runge-Kutta explícitos** de orden  $p$  tienen **función de estabilidad** el desarrollo del polinomio de Taylor de orden  $p$  de la función  $e^z$  entorno al 0, es decir:

$$A^{RKE}(z) = 1 + z + \frac{z^2}{2} + \dots + \frac{z^p}{p!}, \quad \text{en un método RK explícito de orden } p$$

Así pues:

$$R^{RKE} = \left\{ z \in \mathbb{C} / \left| 1 + z + \frac{z^2}{2} + \dots + \frac{z^p}{p!} \right| \leq 1 \right\}$$

Aunque **este resultado no se ha visto en clase** (así que no es algo que podamos concluir directamente), conocerlo nos puede ayudar a la hora de calcular la función de estabilidad. Es precisamente por esto que los métodos de Runge-Kutta explícitos (en particular Euler Explícito) **NO son A-estables**.